

บทที่ 4

## ผลการทดลองและวิเคราะห์ข้อมูล

ในบทนี้จะกล่าวถึงรายละเอียดผลการทดลอง และวิเคราะห์ข้อมูลซึ่งประกอบด้วยผลการทดลองเบื้องต้นเพื่อหาคุณภาพมิผันงเครื่องแลกเปลี่ยนความร้อน ผลการทดลองผลิตไฟฟ้า เพื่อเลือกชนิดของเทอร์โมอิเล็กตริกที่เหมาะสมกับระบบเทอร์โมอิเล็กตริกผลิตไฟฟ้า ผลการทดลองผลิตไฟฟ้าด้วยระบบเทอร์โมอิเล็กตริกผลิตไฟฟ้าเพื่อศึกษาประสิทธิภาพของระบบเทอร์โมอิเล็กตริกผลิตไฟฟ้า การวิเคราะห์ทางเศรษฐศาสตร์ของระบบผลิตไฟฟ้า และผลกระทบแทนทางด้านทรัพยากรธรรมชาติและสิ่งแวดล้อม จากผลการทดลองที่ได้จากการทดลองในขั้นต่าง ๆ สามารถวิเคราะห์และวิจารณ์ผลการทดลองได้ตามลำดับ ดังนี้

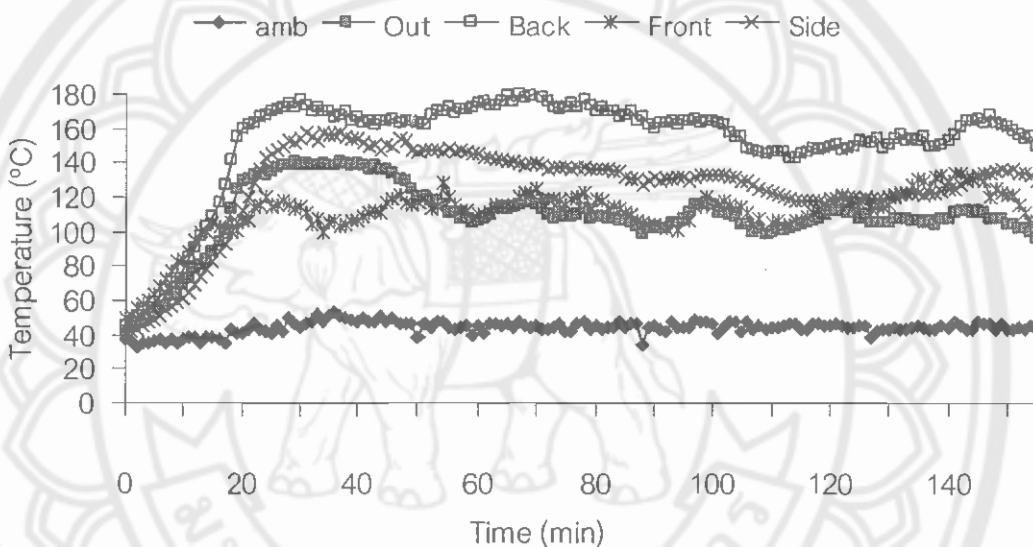
การทดลองเบื้องต้นเพื่อหาคุณภาพนั้นเครื่องแลกเปลี่ยนความร้อน

ในการทดลองเบื้องต้นเพื่อหาอุณหภูมิผังเครื่องแลกเปลี่ยนความร้อน ได้ทำการทดลอง 2 ชุด โดยแบ่งเป็น มีการนำอากาศร้อนกลับมาใช้ร้อยละ 100 และการนำอากาศร้อนกลับมาใช้ร้อยละ 50 ใช้เวลาในการทดลองครั้งละ 2 ชั่วโมง เก็บข้อมูลทุก 1 นาที โดยทำการทดลองชุดละ 2 ครั้ง แล้วนำข้อมูลที่ได้มาหาค่าเฉลี่ย เพื่อศึกษาอุณหภูมิของผังเครื่องแลกเปลี่ยนความร้อน ของเครื่องอบแห้งเพื่อนำข้อมูลดังกล่าวมาใช้ในเคราะห์ตัวแหน่งสำหรับติดตั้งระบบผลิตไฟฟ้า และขั้นตอนการออกแบบระบบผลิตไฟฟ้า

ในการออกแบบการทดลองใช้หลักเกณฑ์การพิจารณาถึง ความสามารถในการพากความร้อนของอากาศ เนื่องจากการลดอัตราการนำออกาศร้อนกลับมาใช้ส่งผลถึงปริมาณอากาศร้อนและคุณภาพมีผลลัพธ์ของอากาศร้อนในการพากความชื้นออกจากผลิตภัณฑ์ ซึ่งส่งผลถึงระยะเวลาในการอบแห้ง ความสัมมด信赖่องพลังงาน และคุณภาพของผ้าเครื่องแรกเปลี่ยนความร้อน

### 1 นำอากาศร้อนกลับมาใช้ร้อยละ 100

ส่วนนี้จะทำการทดลองโดยทำการปรับช่องนำอากาศร้อนให้มีการนำอากาศร้อนกลับมาใช้ร้อยละ 100 เพื่อศึกษาอุณหภูมิผังเครื่องแลกเปลี่ยนความร้อนจากผลการทดลองของแห้งกรณ์ มีการนำอากาศร้อนกลับมาใช้ร้อยละ 100 ผลการทดลองที่ได้ใช้ค่าเฉลี่ยของข้อมูลจากผังเครื่องแลกเปลี่ยนความร้อนแต่ละด้านเพื่อนำมาแสดงผลการทดลองเฉลี่ยของผังเครื่องแลกเปลี่ยนความร้อนในแต่ละด้านเพียงหนึ่ง สามารถแสดงผลการทดลองดังภาพ 41

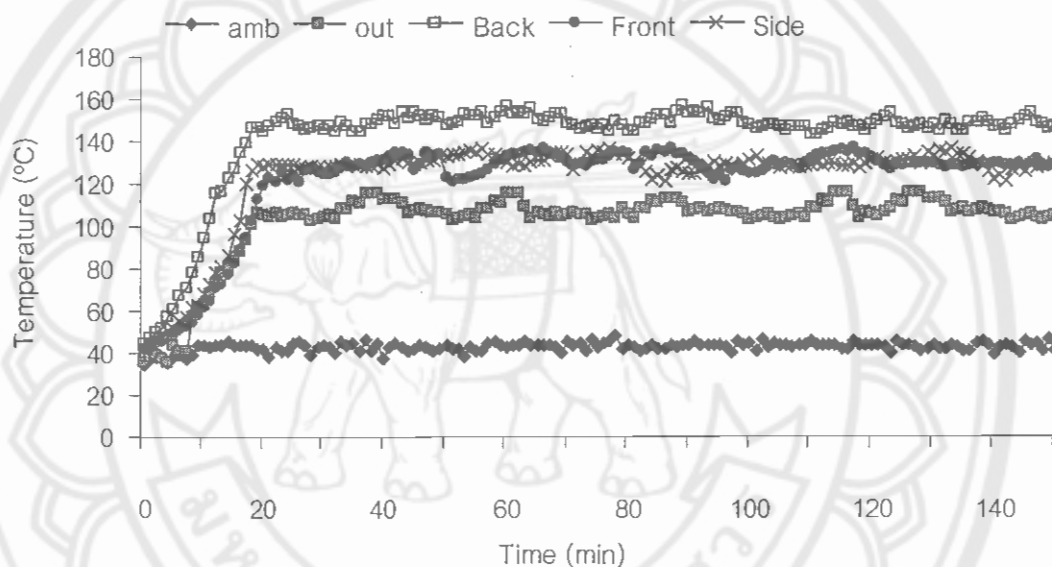


ภาพ 41 อุณหภูมิผังเตาเผาไรม์เฉลี่ย เมื่อนำอากาศร้อนกลับมาใช้ร้อยละ 100

จากภาพ 41 เมื่อพิจารณาถึงอุณหภูมิผังเครื่องแลกเปลี่ยนความร้อนกรณ์มีการนำอากาศร้อนมาใช้ร้อยละ 100 ขณะทำการทดลองได้ควบคุมอุณหภูมิห้องอบแห้งผลิตภัณฑ์ที่ให้อุณหภูมิ  $80^{\circ}\text{C}$  ซึ่งเป็นอุณหภูมิที่ใช้สำหรับอบแห้ง [3] พนบว่าอุณหภูมิเฉลี่ยของผังเครื่องแลกเปลี่ยนความร้อนทุกด้านมีค่าระหว่าง  $100 - 200^{\circ}\text{C}$  โดยผังด้านหลังของเครื่องแลกเปลี่ยนความร้อนมีอุณหภูมิเฉลี่ยสูงสุดประมาณ  $185^{\circ}\text{C}$  ในการทดลองอบแห้งการอุ่นอากาศสำหรับอบแห้งให้ภายในห้องอบแห้งผลิตภัณฑ์เริ่มมีอุณหภูมิ  $80^{\circ}\text{C}$  ใช้เวลาประมาณ 20 นาที จากการสังเกตอุณหภูมิของผังด้านหลังของเครื่องแลกเปลี่ยนความร้อนมีอุณหภูมิสูงสุดระหว่างการทดลอง  $200^{\circ}\text{C}$  ซึ่งเป็นอุณหภูมิเฉพาะบริเวณส่วนล่างของผังด้านหลังของเครื่องแลกเปลี่ยนความร้อน

## 2 นำอากาศร้อนกลับมาใช้ร้อยละ 50

ส่วนนี้จะทำการทดลองโดยทำการปรับช่องนำอากาศร้อนกลับมาใช้ร้อยละ 50 เพื่อศึกษาอุณหภูมิผนังเครื่องแลกเปลี่ยนความร้อน จากผลการทดลองพบแห่งกรณีมีการนำอากาศร้อนกลับมาใช้ร้อยละ 50 ผลการทดลองที่ได้ใช้ค่าเฉลี่ยของข้อมูลจากผนังเครื่องแลกเปลี่ยนความร้อนแต่ละด้านเพื่อนำมาแสดงผลการทดลองเฉลี่ยของผนังเครื่องแลกเปลี่ยนความร้อนในแต่ละด้านเพียงหนึ่ง สามารถแสดงผลการทดลองดังภาพ 42



ภาพ 42 อุณหภูมิผนังเตาเผาใหม่เฉลี่ย เมื่อนำอากาศร้อนกลับมาใช้ร้อยละ 50

จากภาพ 42 เมื่อพิจารณาถึงอุณหภูมิผนังเครื่องแลกเปลี่ยนความร้อนกรณีมีการนำอากาศร้อนมาใช้ร้อยละ 50 ขณะที่การทดลองได้ควบคุมอุณหภูมิห้องอบแห้งผลิตภัณฑ์ไว้ที่ อุณหภูมิ  $80^{\circ}\text{C}$  พบว่าอุณหภูมิเฉลี่ยของผนังเครื่องแลกเปลี่ยนความร้อนมีอุณหภูมิเฉลี่ยสูงสุดประมาณ  $155^{\circ}\text{C}$  โดยผนังด้านหลังของเครื่องแลกเปลี่ยนความร้อนมีอุณหภูมิเฉลี่ยสูงสุดประมาณ  $155^{\circ}\text{C}$  ในการทดลองอบแห้งการอุ่นอากาศให้ห้องอบแห้งผลิตภัณฑ์มีอุณหภูมิ  $80^{\circ}\text{C}$  ใช้เวลาประมาณ 20 นาทีหรือเท่ากับกรณีการนำอากาศร้อนกลับมาใช้ร้อยละ 100 จากการสังเกตอุณหภูมิของผนังด้านหลังของเครื่องแลกเปลี่ยนความร้อนมีอุณหภูมิสูงสุดระหว่างการทดลอง  $190^{\circ}\text{C}$  ซึ่งเป็น อุณหภูมิเฉพาะบริเวณส่วนล่างของผนังด้านหลังของเครื่องแลกเปลี่ยนความร้อน

จากการทดลองเก็บข้อมูลอุณหภูมิผนังเครื่องแลกเปลี่ยนความร้อนและอุณหภูมิ  
แวดล้อม พบร่วมกันของผนังเครื่องแลกเปลี่ยนความร้อนแต่ละด้านมีอุณหภูมิเฉลี่ยแตกต่าง<sup>1</sup>  
กันไม่มาก โดยบริเวณด้านล่างของผนังด้านหลังเครื่องแลกเปลี่ยนความร้อน มีอุณหภูมิสูงสุด  
ระหว่างการทดลอง  $200^{\circ}\text{C}$  และการนำอากาศร้อนกลับมาใช้ส่งผลต่ออุณหภูมิของผนังเครื่อง<sup>2</sup>  
แลกเปลี่ยนความร้อนไม่มาก สามารถสรุปค่าอุณหภูมิเฉลี่ยผนังเครื่องแลกเปลี่ยนความร้อนของ  
การทดลองแสดงดังตาราง 4



ตาราง 4 อุณหภูมิเฉลี่ยเต่าเหล็กสำหรับผนังเตาเผาและอุณหภูมิโดยรอบ

ตำแหน่ง	กรณีการนำอากาศร้อนกลับมาใช้ร้อยละ 100				กรณีการนำอากาศร้อนกลับมาใช้ร้อยละ 50			
	อุณหภูมิต่ำสุด (°C)	อุณหภูมิเฉลี่ย (°C)	อุณหภูมิสูงสุด (°C)	SD	อุณหภูมิต่ำสุด (°C)	อุณหภูมิเฉลี่ย (°C)	อุณหภูมิ สูงสุด (°C)	SD
ภายในห้องเผาไนซ์	315	623	1342	9.6	486	661	1027	10.4
ผนังด้านหน้าเครื่องแก๊สเปลี่ยน ความร้อน	113	138	195	3.7	105	120	136	4.0
ผนังด้านหลังเครื่องแก๊สเปลี่ยน ความร้อน	160	186	203	2.7	142	148	156	3.1
ผนังด้านข้างเครื่องแก๊สเปลี่ยน ความร้อน	120	145	191	2.7	103	129	136	3.2
อากาศขอจากห้องเผาไนซ์	98	109	140	3.4	95	105	138	3.6
อากาศเวดล้อมที่ระยะไม่เกิน 1 m	43	44	45	1.6	42	44	45	1.9

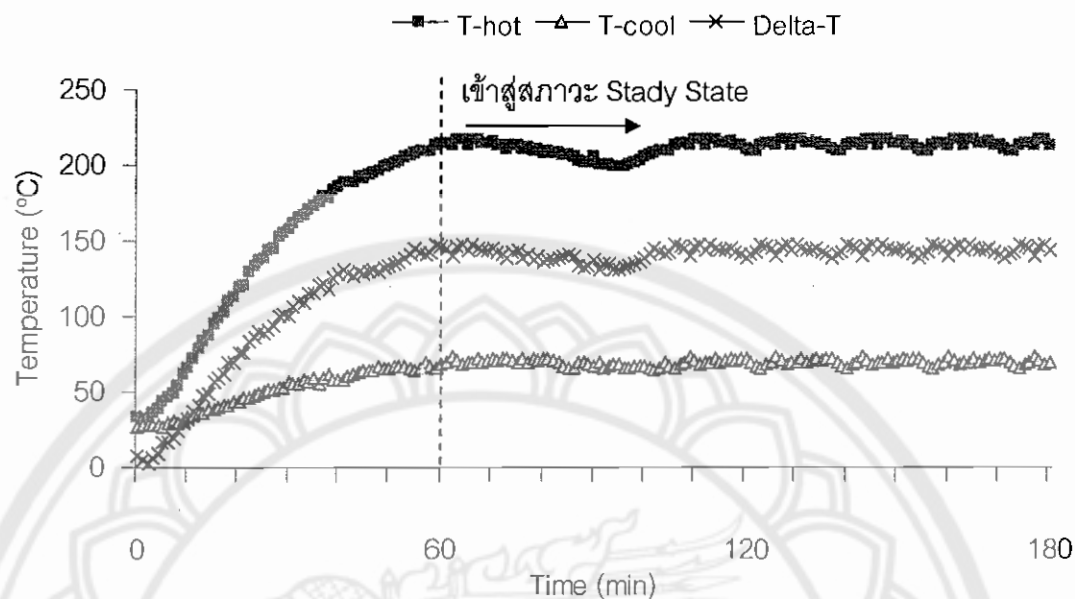
จากตาราง 4 เมื่อพิจารณาถึงอุณหภูมิผังเครื่องแลกเปลี่ยนความร้อนในกรณีที่มีอุณหภูมิผังเครื่องแลกเปลี่ยนความร้อนสูงสุด คือกรณีการนำอากาศร้อนกลับมาใช้ร้อยละ 100 พ布ว่าระยะเวลาในการอุ่นอากาศให้ห้องอบแห้งผลิตภัณฑ์มีอุณหภูมิ  $80^{\circ}\text{C}$  ใช้เวลาประมาณ 20 นาที โดยมีอุณหภูมิเฉลี่ยของผังเครื่องแลกเปลี่ยนความร้อนระหว่าง  $100 - 180^{\circ}\text{C}$  ขณะที่บริเวณด้านล่างของผังด้านหลังของเครื่องแลกเปลี่ยนความร้อนมีอุณหภูมิสูงสุด  $200^{\circ}\text{C}$  ซึ่งเป็นอุณหภูมิอ้างอิงที่นำมาใช้ในขั้นตอนการทดลองผลิตไฟฟ้าเพื่อเลือกเทอร์โมอิเล็กตริกที่เหมาะสม

### การทดลองผลิตไฟฟ้าเพื่อเลือกเทอร์โมอิเล็กตริกที่เหมาะสม

จากการทดลองเพื่อเก็บข้อมูลอุณหภูมิผังเตาเครื่องแลกเปลี่ยนความร้อนและอุณหภูมิแวดล้อมทั้งระบบ 16 ตำแหน่ง คือ อุณหภูมิผังเครื่องแลกเปลี่ยนความร้อนโดยรอบ อุณหภูมิอากาศที่ใกล้เข้าและออกจากห้องเผาให้มีเชื้อเพลิง อุณหภูมิภายในห้องเผาให้มีเชื้อเพลิง และอุณหภูมิอากาศแวดล้อม สามารถนำข้อมูลอ้างอิงที่ได้มาใช้ในการทดลองผลิตไฟฟ้าเพื่อเลือกเทอร์โมอิเล็กตริกที่เหมาะสมกับระบบผลิตไฟฟ้าเพื่อใช้ในการผลิตไฟฟ้าให้กับเครื่องอบแห้งชีวนิวคล

ในการออกแบบการทดลองใช้หลักเกณฑ์การพิจารณาถึง แรงดันไฟฟ้าสูงสุดที่เทอร์โมอิเล็กตริกผลิตได้ กำลังไฟฟ้าสูงสุดที่เทอร์โมอิเล็กตริกผลิตได้ ผลของความต้านทานไฟฟ้าต่อ แรงดันไฟฟ้าที่เทอร์โมอิเล็กตริกผลิตได้ และผลของความต้านทานไฟฟ้าต่อกำลังไฟฟ้าที่เทอร์โมอิเล็กตริกผลิตได้ ผลการทดลองที่ได้นำมาเปรียบเทียบความสามารถในการผลิตไฟฟ้าของเทอร์โมอิเล็กตริกในแต่ละรุ่น ซึ่งส่งผลถึงความสามารถในการผลิตไฟฟ้าของระบบเทอร์โมอิเล็กตริกผลิตไฟฟ้า จำนวนเทอร์โมอิเล็กตริกผลิตไฟฟ้าที่ใช้ในระบบ และมูลค่าการลงทุนของโครงการ

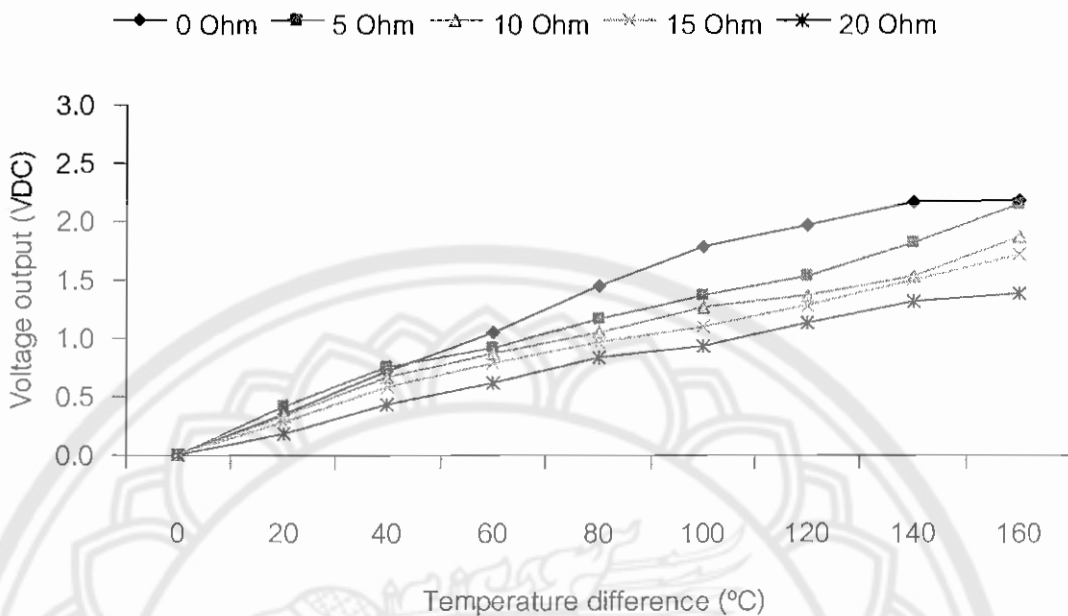
ในการทดลองผลิตไฟฟ้า ได้แบ่งการทดลองออกเป็น 5 ชุด โดยการปรับเปลี่ยนความต้านทาน (ภาระจำลอง) ให้กับเทอร์โมอิเล็กตริกเป็น 0, 5, 10, 15 และ  $20\text{ Ohm}$  ตามลำดับ ทำการทดลองทุกด้วยรุ่น 2 ครั้ง เพื่อนำข้อมูลมาหาค่าเฉลี่ยและค่าเบี่ยงเบนมาตรฐาน ใช้เวลาในการทดลองครั้งละ 30 นาที เนื่องจากการทดลองเบื้องต้นความร้อนจะเริ่มงคงที่ใช้เวลาประมาณ 20 นาที ดังภาพ 43 เก็บข้อมูลทุก 1 นาที เพื่อศึกษาถึงความสามารถในการผลิตไฟฟ้าของเทอร์โมอิเล็กตริกแต่ละรุ่น แรงดันไฟฟ้าสูงสุดที่เทอร์โมอิเล็กตริกผลิตได้ กำลังไฟฟ้าสูงสุดที่เทอร์โมอิเล็กตริกผลิตได้ ผลของความต้านทานไฟฟ้าต่อแรงดันไฟฟ้าที่เทอร์โมอิเล็กตริกผลิตได้ และผลของความต้านทานไฟฟ้าต่อกำลังไฟฟ้าที่เทอร์โมอิเล็กตริกผลิตได้ ผลการทดลองที่ได้นำมาเปรียบเทียบความสามารถในการผลิตไฟฟ้าของเทอร์โมอิเล็กตริกในแต่ละรุ่นได้ดังนี้



ภาพ 43 อุณหภูมิของเทอร์โมอิเล็กตริกจากการทดลองผลิตไฟฟ้า

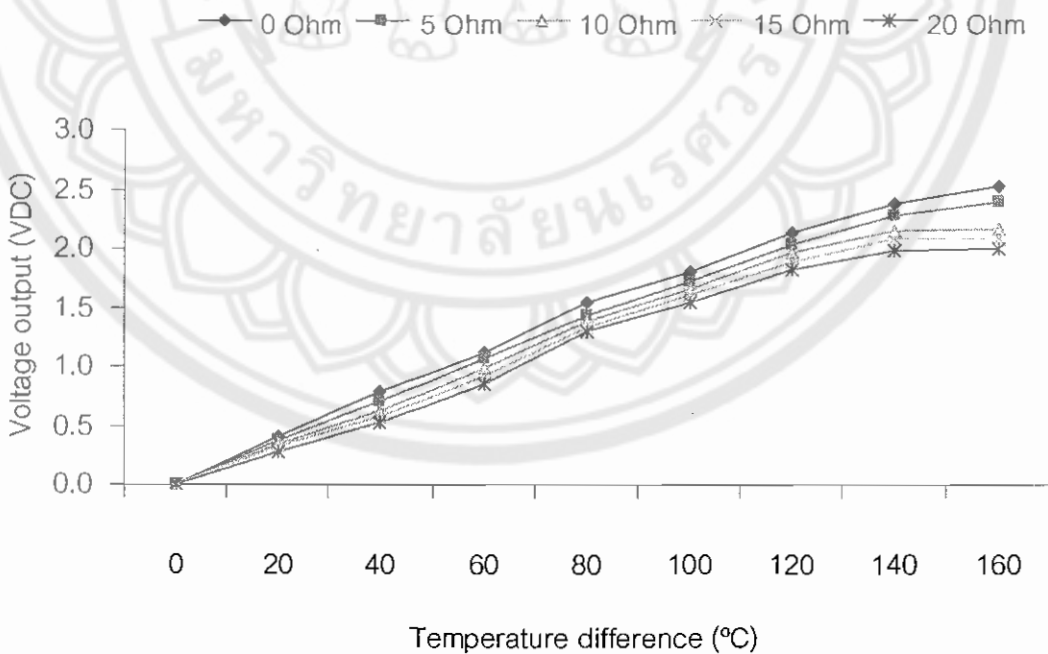
#### 1 ผลของความต้านทานไฟฟ้าต่อแรงดันไฟฟ้า

จากการทดลองผลิตไฟฟ้าเพื่อเลือกเทอร์โมอิเล็กตริกที่เหมาะสมสำหรับผลิตไฟฟ้า เมื่อพิจารณาผลของความต้านทานไฟฟ้าต่อแรงดันไฟฟ้าที่เทอร์โมอิเล็กตริกผลิตได้ เพื่อศึกษาเปรียบเทียบแรงดันไฟฟ้าสูงสุดที่เทอร์โมอิเล็กตริกแต่ละโมดูลผลิตได้ และเปรียบเทียบผลของความต้านทานไฟฟ้าต่อแรงดันไฟฟ้าที่เทอร์โมอิเล็กตริกแต่ละโมดูลผลิตได้ในกรณีมีความต้านทานไฟฟ้าต่างกัน แสดงข้อมูลดังภาพ 44



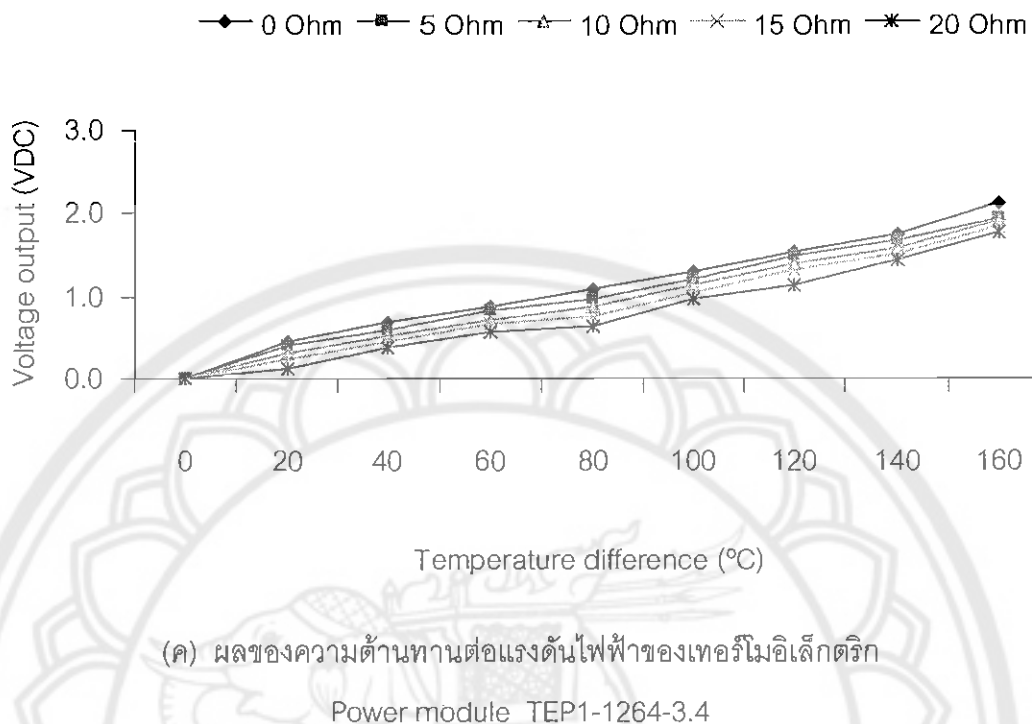
(ก) ผลของความต้านทานต่อแรงดันไฟฟ้าของเทอร์โมอิเล็กตริก

Cooling module MT2-1,6-127



(ข) ผลของความต้านทานต่อแรงดันไฟฟ้าของเทอร์โมอิเล็กตริก

Cooling module TEC1-12708



ภาพ 44 ผลของความต้านทานต่อแรงดันไฟฟ้าของเทอร์โมอิเล็กตริก

เมื่อพิจารณาความสัมพันธ์ของความต้านทานต่อแรงดันไฟฟ้าที่เทอร์โมอิเล็กตริกผลิตได้พบว่า เมื่อผลต่างของอุณหภูมิต้านร้อนและต้านเย็นของเทอร์โมอิเล็กตริกเพิ่มขึ้น ความสามารถในการผลิตไฟฟ้าจะเพิ่มขึ้นและปรับนัยทางเดียวกันกับผลต่างของอุณหภูมิต้านร้อนและต้านเย็นของเทอร์โมอิเล็กตริก และแรงดันไฟฟ้าที่ผลิตได้จะคงที่เมื่อผลต่างของอุณหภูมิต้านร้อนและต้านเย็นของเทอร์โมอิเล็กตริกอยู่ในช่วงการทำงานของเทอร์โมอิเล็กตริกทุนนั้น ๆ

ผลของความต้านทานไฟฟ้าต่อแรงดันไฟฟ้าที่เทอร์โมอิเล็กตริกผลิตได้ พบว่า เมื่อค่าความต้านทานไฟฟ้าที่ต่อ กับเทอร์โมอิเล็กตริกเพิ่มสูงขึ้น แรงดันไฟฟ้าที่ได้จากเทอร์โมอิเล็กตริกจะลดลง โดยที่ความต้านทาน 0 Ohm การผลิตไฟฟ้าจะให้แรงดันไฟฟ้าสูงสุด เมื่อความต้านทานไฟฟ้าเพิ่มขึ้นเป็น 5, 10 และ 15 Ohm แรงดันไฟฟ้าที่ได้จะลดลงตามลำดับ และที่ความต้านทาน 20 Ohm การผลิตไฟฟ้าจะให้แรงดันไฟฟ้าต่ำสุด เนื่องจากความต้านทานไฟฟ้าที่เพิ่มขึ้นมีสมบัติขัดขวางหรือต้านทานการไหลของไฟฟ้า

จากการทดลองพบว่า เทอร์โมอิเล็กตริก MT2-1,6-127 สามารถผลิตแรงดันไฟฟ้าได้ 2.18 volts ขณะที่เทอร์โมอิเล็กตริก TEC1-12708 สามารถผลิตแรงดันไฟฟ้าได้ 2.52 volts และ เทอร์โมอิเล็กตริก TEP1-1264-3.4 สามารถผลิตแรงดันไฟฟ้าได้ 2.13 volts และจากการสังเกตผล การทดลองพบว่าเทอร์โมอิเล็กตริก TEC1-12708 มีผลของความต้านทานไฟฟ้าต่อแรงดันไฟฟ้าที่ เทอร์โมอิเล็กตริกผลิตได้น้อย หรือกล่าวอีกนัยหนึ่งคือเมื่อมีการเพิ่มความต้านทานไฟฟ้าที่ต่อให้กับ เทอร์โมอิเล็กตริก TEC1-12708 แรงดันไฟฟ้าที่ผลิตได้ยังมีค่าสูงสุดเมื่อเทียบกับเทอร์โมอิเล็กตริก เมดูลล์อิน ๆ กรณีเพิ่มความต้านทานไฟฟ้าที่ต่อให้เทากัน สรุปผลของความต้านทานไฟฟ้าต่อ แรงดันไฟฟ้าได้ดังตาราง 5

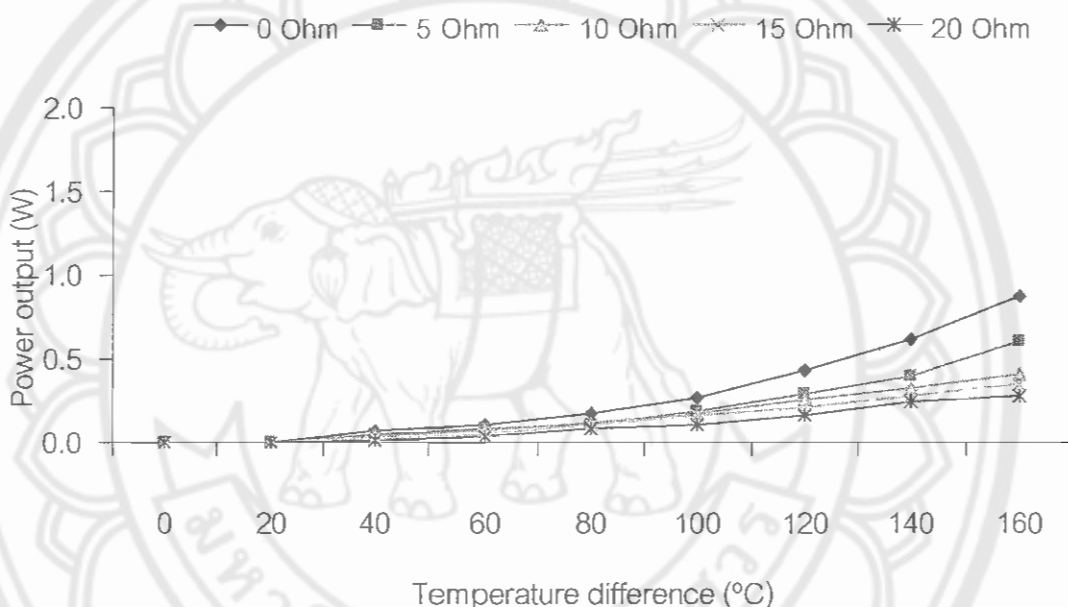
ตาราง 5 สรุปผลของความต้านทานไฟฟ้าต่อการลดลงของแรงดันไฟฟ้า

ความต้านทานไฟฟ้า	MT2-1,6-127		TEC1-12708		TEP1-1264-3.4	
	V	%	V	%	V	%
0	2.18	-	2.52	-	2.13	-
5	2.15	1.38	2.39	5.16	1.93	9.39
10	1.87	14.22	2.17	13.89	1.91	10.33
15	1.71	21.56	2.08	17.46	1.85	13.15
20	1.39	36.24	2	20.63	1.76	17.37

ดังนั้นงานวิจัยนี้จึงเลือกใช้เทอร์โมอิเล็กตริก TEC1-12708 สำหรับระบบเทอร์โมอิเล็ก ตริกผลิตไฟฟ้า เนื่องจากมีความสามารถในการผลิตแรงดันไฟฟ้าได้ 2.52 volts และเมื่อเพิ่ม ความต้านทานไฟฟ้าที่ต่อให้กับเทอร์โมอิเล็กตริก TEC1-12708 ที่ค่าต่าง ๆ แรงดันไฟฟ้าที่ผลิตได้ ยังมีค่าสูงสุดเมื่อเทียบกับเทอร์โมอิเล็กตริกเมดูลล์อิน ๆ หรือสามารถกล่าวได้อีกนัยหนึ่งว่า ความต้านทานไฟฟ้าที่ต่อให้กับเทอร์โมอิเล็กตริก TEC1-12708 มีผลต่อแรงดันไฟฟ้าที่เทอร์โม อิเล็กตริกสามารถผลิตได้น้อยที่สุด

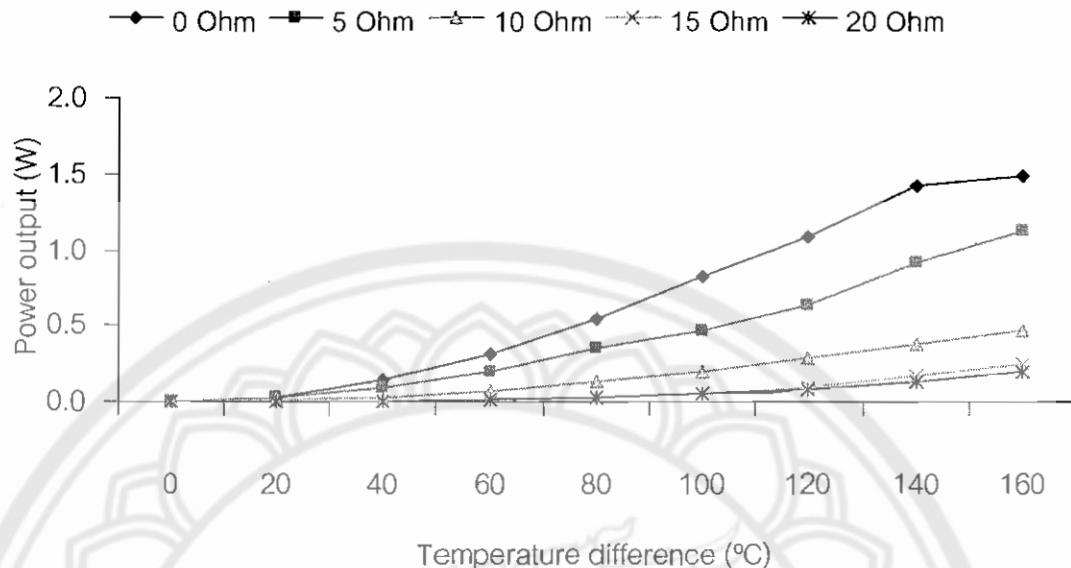
## 2 ผลของความต้านทานไฟฟ้าต่อกำลังไฟฟ้า

จากการทดลองผลิตไฟฟ้าเพื่อเลือกเทอร์โมอิเล็กตริกที่เหมาะสมสำหรับผลิตไฟฟ้า เมื่อพิจารณาผลของความต้านทานไฟฟ้าต่อกำลังไฟฟ้าที่เทอร์โมอิเล็กตริกผลิตได้ เพื่อศึกษา เปรียบเทียบกำลังไฟฟ้าสูงสุดที่เทอร์โมอิเล็กตริกแต่ละโมดูลผลิตได้ และเปรียบเทียบผลของความต้านทานไฟฟ้าต่อกำลังไฟฟ้าที่เทอร์โมอิเล็กตริกแต่ละโมดูลผลิตได้ในการนี้มีความต้านทานไฟฟ้า ต่างกัน แสดงข้อมูลดังภาพ 45

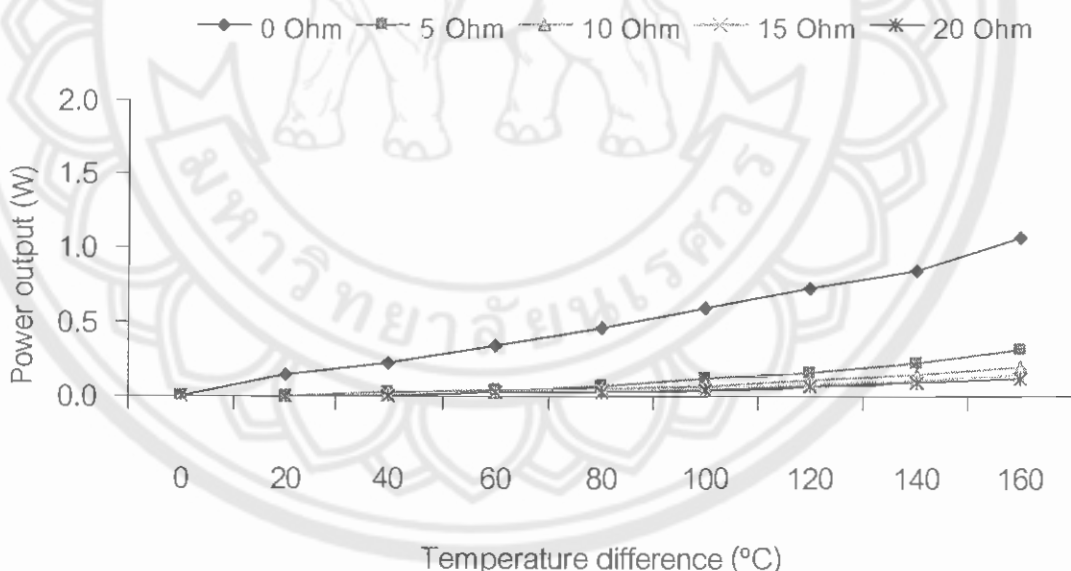


(ก) ผลของความต้านทานไฟฟ้าต่อกำลังไฟฟ้าของเทอร์โมอิเล็กตริก

cooling module MT2-1,6-127



(ข) ผลของความต้านทานไฟฟ้าต่อกำลังไฟฟ้าของเทอร์โมอิเล็กตริก  
cooling module TEC1-12708



(ค) ผลของความต้านทานไฟฟ้าต่อกำลังไฟฟ้าของเทอร์โมอิเล็กตริก  
power module TEP1-1264-3.4

ภาพ 45 ผลของความต้านทานไฟฟ้าต่อกำลังไฟฟ้าของเทอร์โมอิเล็กตริก

เมื่อพิจารณาความสัมพันธ์ของความต้านทานต่อกำลังไฟฟ้าที่เทอร์โมอิเล็กตริกผลิตได้พบว่า เมื่อผลต่างของอุณหภูมิต้านร้อนและด้านเย็นของเทอร์โมอิเล็กตริกเพิ่มขึ้น ความสามารถในการผลิตไฟฟ้าจะเพิ่มขึ้นและผันในทางเดียวกันกับผลต่างของอุณหภูมิต้านร้อนและด้านเย็นของเทอร์โมอิเล็กตริก และกำลังไฟฟ้าที่ผลิตได้จะคงที่เมื่อผลต่างของอุณหภูมิต้านร้อนและด้านเย็นของเทอร์โมอิเล็กตริกอยู่ในช่วงการทำงานของเทอร์โมอิเล็กตริกรุ่นนั้น ๆ

ผลของความต้านทานไฟฟ้าต่อกำลังไฟฟ้าที่เทอร์โมอิเล็กตริกผลิตได้ พบว่า เมื่อค่าความต้านทานไฟฟ้าที่ต่อกับเทอร์โมอิเล็กตริกเพิ่มสูงขึ้น กำลังไฟฟ้าที่ได้จากเทอร์โมอิเล็กตริกจะลดลง โดยที่ความต้านทาน 0 Ohm การผลิตไฟฟ้าจะให้กำลังไฟฟ้าสูงสุด เมื่อความต้านทานไฟฟ้าเพิ่มขึ้นเป็น 5, 10 และ 15 Ohm กำลังไฟฟ้าที่ได้จะลดลงตามลำดับ และที่ความต้านทาน 20 Ohm การผลิตไฟฟ้าจะให้กำลังไฟฟ้าต่ำสุด เนื่องจากความต้านทานไฟฟ้าที่เพิ่มขึ้นมีสมบัติขัดขวางหรือต้านทานการไหลของไฟฟ้า

จากการทดลองพบว่า เทอร์โมอิเล็กตริก MT2-1,6-127 สามารถผลิตไฟฟ้าได้ 0.87 watts ขณะที่เทอร์โมอิเล็กตริก TEC1-12708 สามารถผลิตไฟฟ้าได้ 1.50 watts และเทอร์โมอิเล็กตริก TEP1-1264-3.4 สามารถผลิตไฟฟ้าได้ 1.07 watts และจากการสังเกตผลการทดลองพบว่า เทอร์โมอิเล็กตริก TEC1-12708 มีผลของความต้านทานไฟฟ้าต่อกำลังไฟฟ้าที่เทอร์โมอิเล็กตริก ผลิตได้น้อย หรือกล่าวอีกนัยหนึ่งคือเมื่อมีการเพิ่มความต้านทานไฟฟ้าที่ต่อให้กับเทอร์โมอิเล็กตริก TEC1-12708 กำลังไฟฟ้าที่ผลิตได้ยังมีค่าสูงสุดเมื่อเทียบกับเทอร์โมอิเล็กตริกโมดูลอื่น ๆ กรณีเพิ่มความต้านทานไฟฟ้าที่ต่อให้เท่ากัน สรุปผลของความต้านทานไฟฟ้าต่อกำลังไฟฟ้าได้ดังตาราง 6

ตาราง 6 สรุปผลของความต้านทานไฟฟ้าต่อกำลังของกำลังไฟฟ้า

ความต้านทานไฟฟ้า	MT2-1,6-127		TEC1-12708		TEP1-1264-3.4	
	W	%	W	%	W	%
0	0.87	100.00	1.50	100.00	1.07	100.00
5	0.60	68.97	1.12	74.67	0.31	28.97
10	0.41	47.13	0.47	31.33	0.20	18.69
15	0.35	40.23	0.25	16.67	0.15	14.02
20	0.28	32.18	0.19	12.67	0.12	11.21

ดังนั้นงานวิจัยนี้จึงเลือกใช้เทอร์โมอิเล็กตริก TEC1-12708 สำหรับระบบเทอร์โมอิเล็กตริกผลิตไฟฟ้า เนื่องจากมีความสามารถในการผลิตไฟฟ้าสูงสุดที่ 1.50 watts (2.52 volts, 0.59 Amp) และเมื่อมีการเพิ่มความต้านทานไฟฟ้าที่ต่อให้กับเทอร์โมอิเล็กตริก TEC1-12708 กำลังไฟฟ้าที่ผลิตได้ยังมีค่าสูงสุดเมื่อยึบกับเทอร์โมอิเล็กตริกไม่ดูดอื่น ๆ กรณีเพิ่มความต้านทานไฟฟ้าที่ต่อให้เทากัน โดยที่ค่ากำลังไฟฟ้าสูงสุดของเทอร์โมอิเล็กตริก TEC1-12708 จะเกิดขึ้น เมื่อมีการต่อเพิ่มความต้านทานไฟฟ้า 6 Ohm และมีความต่างของอุณหภูมิด้านร้อนและด้านเย็น 180 °C ซึ่งเป็นอุณหภูมินอกช่วงของงานวิจัยนี้ ดังนั้นงานวิจัยนี้จึงยึดผลที่ได้จากการทดลองเป็นหลักในการพิจารณาเลือกเทอร์โมอิเล็กตริกที่เหมาะสมกับระบบเทอร์โมอิเล็กตริกผลิตไฟฟ้า

### 3 ราคาพลังงานไฟฟ้า

จากการทดลองผลิตไฟฟ้าเพื่อเลือกเทอร์โมอิเล็กตริกที่เหมาะสม เมื่อนำผลการทดลอง ผลิตไฟฟ้าที่ได้มารวิเคราะห์ราคาพลังงานไฟฟ้า (energy cost) ที่ผลิตด้วยเทอร์โมอิเล็กตริกสำหรับ ทำความเย็น MT2-1,6-127, TEC1-12708 และเทอร์โมอิเล็กตริกผลิตไฟฟ้า TEP1-1264-3.4 โดย ใช้วิธีการคำนวณจากอายุการใช้งานของเทอร์โมอิเล็กตริก กำลังไฟฟ้าสูงสุดที่ผลิตได้ และราคาไม่ดูด เพื่อหาราคาพลังงานไฟฟ้าของระบบ ราคาพลังงานที่ผลิตได้จากเทอร์โมอิเล็กตริกสามารถคำนวณได้จาก

$$\text{ราคาพลังงาน} = \frac{\text{ราคาไม่ดูด}}{\text{อายุการใช้งาน} \times \text{กำลังไฟฟ้าที่ผลิตได้}}$$

ตาราง 7 ราคาพลังงานไฟฟ้าที่ผลิตได้จากเทอร์โมอิเล็กตริกตลอดอายุการใช้งาน

ข้อมูล	MT2-1,6-127	TEC1-12708	TEP1-1264-3.4
อายุการใช้งาน (ชั่วโมง)	100,000	100,000	100,000
กำลังไฟฟ้าที่ผลิตได้ (Wh)	0.87	1.50	1.07
ราคาเทอร์โมอิเล็กตริกไม่ดูด (บาท)	297.5	280	2,100
ราคาพลังงาน (บาท / Wh)	3.42	1.87	19.63

จากตาราง 7 ราคาพลังงานไฟฟ้าที่ผลิตได้จากเทอร์โมอิเล็กตริกผลิตสำหรับทำความสะอาดเย็น TEC1-12708 มีราคาพลังงาน 1.87 บาท/Wh ซึ่งต่ำสุดเมื่อเทียบกับเท่ากับราคาพลังงานไฟฟ้าที่ผลิตได้จากเทอร์โมอิเล็กตริก MT2-1,6-127 และ TEP1-1264-3.4 ซึ่งมีราคาพลังงาน 3.42 บาท/Wh และ 19.63 บาท/Wh ตามลำดับ

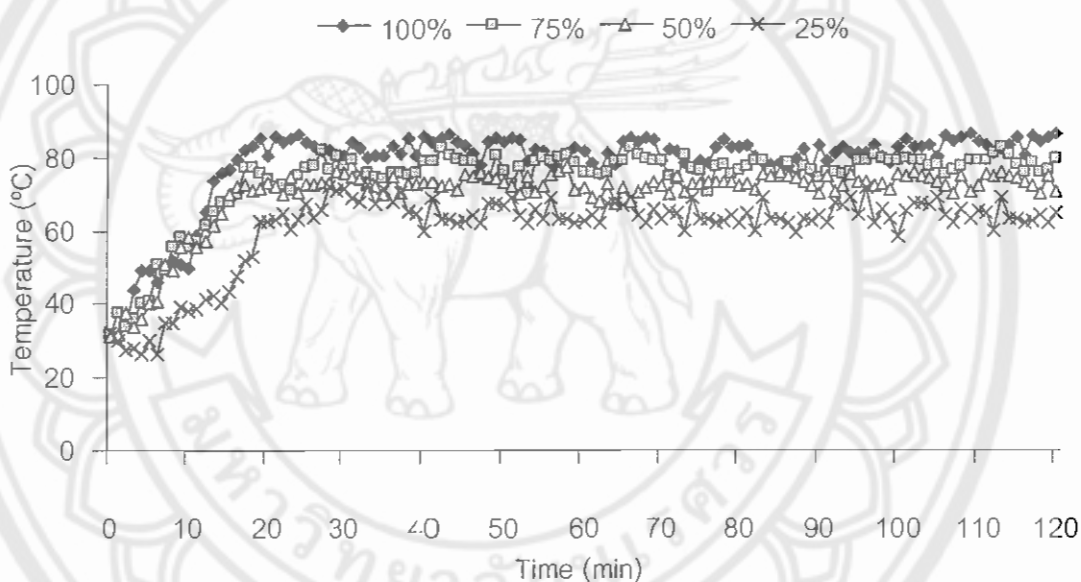
### การศึกษาประสิทธิภาพของระบบผลิตไฟฟ้า

จากการออกแบบระบบเทอร์โมอิเล็กตริกผลิตไฟฟ้าข้างต้น ได้ทำการติดตั้งระบบเทอร์โมอิเล็กตริกผลิตไฟฟ้าบริเวณผนังด้านหลังของเครื่องแลกเปลี่ยนความร้อน จานี้ทำการทดสอบการทำงานของระบบเทอร์โมอิเล็กตริกผลิตไฟฟ้า เพื่อศึกษาถึงความสามารถในการผลิตไฟฟ้าของระบบเทอร์โมอิเล็กตริกผลิตไฟฟ้า ความสามารถระหว่างอากาศของพัดลมระหว่างอากาศ เปรียบเทียบปริมาณความร้อนสูญเสียจากผนังเครื่องแลกเปลี่ยนความร้อน และผลของการนำอากาศร้อนกลับไปใช้ต่ออุณหภูมิของห้องอบแห้งผลิตภัณฑ์ โดยได้ทำการอบแห้งห้องอบแห้งเปล่า เพื่อเก็บข้อมูลต่าง ๆ ดังนี้ แรงดันไฟฟ้า, กระแสไฟฟ้า, อุณหภูมิด้านร้อนและอุณหภูมิด้านเย็น ของเทอร์โมอิเล็กตริก, อุณหภูมน้ำระหว่างความร้อนก่อนและหลังผ่านทางเด้งระหว่างความร้อน, อัตราการไหลของน้ำที่ใช้ระหว่างความร้อน, ความร้อนสูญเสียจากผนังเครื่องแลกเปลี่ยนความร้อน และอัตราการไหลของอากาศของพัดลมระหว่างอากาศ โดยการทดสอบจะทำการทดสอบ 4 ชุด ใช้เวลาในการทดลองครั้งละ 2 ชั่วโมง เก็บข้อมูลทุก 1 นาที ทำการทดสอบชุดละ 2 ครั้ง และนำข้อมูลมาหาค่าเฉลี่ย และค่าเบี่ยงเบนมาตรฐาน แบ่งเป็น มีการนำอากาศร้อนกลับมาใช้ร้อนละ 100, 75, 50 และ 25 เพื่อให้มีการนำอากาศร้อนกลับมาใช้ใหม่ และเพื่อให้มีการระหว่างความชื้นออกจากการอบแห้ง

ในการออกแบบการทดลองใช้หลักเกณฑ์การพิจารณาถึง ความสามารถในการผลิตไฟฟ้าของระบบเทอร์โมอิเล็กตริกผลิตไฟฟ้า และอุณหภูมิของห้องอบแห้งผลิตภัณฑ์เป็นหลักเนื่องจากการลดอัตราการนำอากาศร้อนกลับมาใช้ส่งผลถึงปริมาณอากาศร้อนและอุณหภูมิเฉลี่ยของอากาศร้อนในการพากความชื้นออกจากผลิตภัณฑ์ ซึ่งส่งผลถึงระยะเวลาในการอบแห้ง ความลินเปลี่ยนพลังงาน และอุณหภูมิของห้องอบแห้งผลิตภัณฑ์ ผลกระทบของได้ทำการวิเคราะห์เปรียบเทียบข้อมูลต่าง ๆ ไว้ ดังนี้

### 1. เปรียบเทียบอุณหภูมิห้องอบแห้ง

ในส่วนนี้ทำการทดลองปรับช่องนำอากาศร้อนเพื่อให้มีการนำอากาศร้อนกลับมาใช้ร้อยละ 100, 75, 50 และ 25 เพื่อศึกษาถึงบริมาณการนำอากาศร้อนกลับมาใช้ต่ออุณหภูมิของห้องอบแห้งผลิตภัณฑ์ ซึ่งการนำอากาศร้อนกลับมาใช้ช่วยลดการสูญเสียพลังงานความร้อนของอากาศที่ใช้ในการอบแห้งและลดบริมาณการใช้พลังงานจากไม้ฟืน และเพื่อให้มีการระบายน้ำซึ่นออกจากห้องอบแห้งซึ่งช่วยให้อากาศที่ใช้ในการอบแห้งมีประสิทธิภาพในการนำความร้อนสูงขึ้น ซึ่งมีผลต่อความสามารถในการอบแห้งผลิตภัณฑ์และการใช้พลังงานในการอบแห้ง แสดงผลการทดลองดังภาพ 46



ภาพ 46 เปรียบเทียบอุณหภูมิห้องอบแห้งกรณีการนำอากาศร้อนกลับมาใช้ต่างกัน

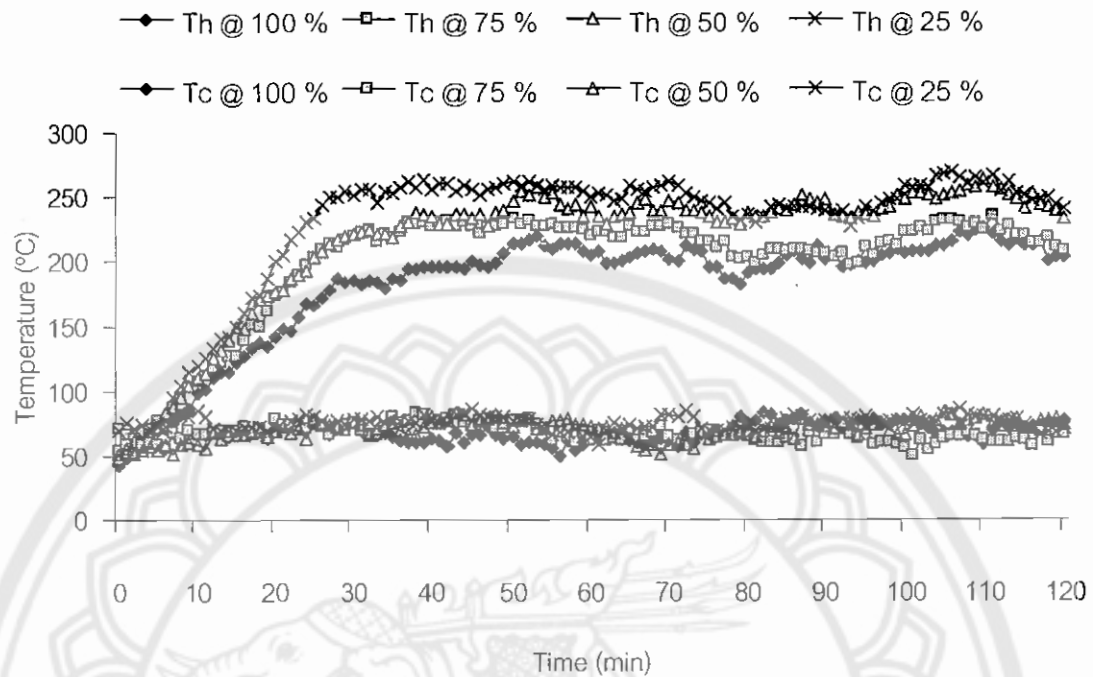
จากการทดลองเปรียบเทียบอุณหภูมิห้องอบแห้งกรณีการนำอากาศร้อนกลับมาใช้ต่างกัน พบว่าในการทดลองอบแห้งให้ห้องอบแห้งผลิตภัณฑ์มีอุณหภูมิ  $80^{\circ}\text{C}$  ใช้เวลาประมาณ 20 นาที และห้องอบแห้งมีอุณหภูมิระหว่าง  $64 - 81^{\circ}\text{C}$  ซึ่งเป็นอุณหภูมิที่เหมาะสมสมสำหรับการอบแห้งผลิตภัณฑ์ทางการเกษตร เช่น พริกชี้ฟ้า ตะไคร้ ใบมะกรูด และลำไย [3]

จากการทดลองเบรี่ยบเทียบอุณหภูมิห้องอบแห้งกรณีการนำอากาศร้อนกลับมาใช้ต่อไป ผลการทดลองบ่งชี้ว่าเมื่อนำอากาศร้อนกลับมาใช้ร้อยละ 100 ห้องอบแห้งจะมีอุณหภูมิเฉลี่ย  $81^{\circ}\text{C}$  และเมื่อลดการนำอากาศร้อนกลับมาใช้เป็นร้อยละ 75, 50 และ 25 ห้องอบแห้งจะมีอุณหภูมิลดลงเฉลี่ยเป็น  $76, 70$  และ  $64^{\circ}\text{C}$  ตามลำดับ

เมื่อพิจารณาความสัมพันธ์ของอุณหภูมิห้องอบแห้งเทียบกับการนำอากาศร้อนกลับมาใช้จากการทดลองอบแห้งเพื่อศึกษาประสิทธิภาพของระบบผลิตไฟฟ้า พบว่าห้องอบแห้งมีอุณหภูมิลดลงเมื่อมีการนำอากาศร้อนกลับมาใช้ในปริมาณน้อยลง เนื่องจากมีการสูญเสียอากาศที่ใช้อบแห้งส่งผลให้อุณหภูมิภายในห้องอบแห้งลดลง และเนื่องจากต้องควบคุมอุณหภูมิผังเครื่องแลกเปลี่ยนความร้อนให้มีอุณหภูมิที่ต่ำกว่า  $250^{\circ}\text{C}$  เพื่อป้องกันการเสียหายของระบบผลิตไฟฟ้าจากการละลายของเทอร์โมอิเล็กตริก

## 2 เบรี่ยบเทียบอุณหภูมิด้านร้อนและด้านเย็นของเทอร์โมอิเล็กตริก

ในการทดสอบประสิทธิภาพของระบบเทอร์โมอิเล็กตริกผลิตไฟฟ้า การศึกษาเบรี่ยบเทียบอุณหภูมิด้านร้อนและด้านเย็นของเทอร์โมอิเล็กตริกเพื่อศึกษาถึงผลกระทบของความแตกต่างของอุณหภูมิด้านร้อนและเย็นต่อความสามารถผลิตไฟฟ้าของระบบผลิตไฟฟ้า เบรี่ยบเทียบความสามารถรับประทานความร้อนของทองแดงรับประทานความร้อนแต่ละชุด และเบรี่ยบเทียบการกระจายความร้อนของผังเครื่องแลกเปลี่ยนความร้อนในแต่ละตำแหน่ง ในระหว่างการทดสอบได้ควบคุมอุณหภูมิด้านร้อนของเทอร์โมอิเล็กตริกไม่ให้เกินกว่า  $250^{\circ}\text{C}$  [25] เพื่อป้องกันการเสียหายของระบบผลิตไฟฟ้าจากการละลายของเทอร์โมอิเล็กตริก และเพื่อให้ได้แรงดันไฟฟ้าในช่วงที่พัดลมรับประทานอากาศต้องการ ส่วนด้านเย็นของเทอร์โมอิเล็กตริกใช้การควบคุมอุณหภูมิให้มีอุณหภูมิต่ำที่สุดเพื่อให้เทอร์โมอิเล็กตริกมีความสามารถในการผลิตไฟฟ้าสูงสุด แสดงผลการทดลองดังภาพ 47



ภาพ 47 การเปรียบเทียบอุณหภูมิด้านร้อนและด้านเย็นของเทอร์โมอิเล็กตริก  
กรณีการนำอากาศร้อนกลับมาใช้ต่อ กัน

จากการทดลองการเปรียบเทียบอุณหภูมิด้านร้อนและด้านเย็นของเทอร์โมอิเล็กตริกที่กรณีการนำอากาศร้อนกลับมาใช้ต่อ กัน พบว่าอุณหภูมิด้านร้อนของเทอร์โมอิเล็กตริกมีอุณหภูมิระหว่าง  $200 - 250\text{ }^{\circ}\text{C}$  ขณะที่อุณหภูมิด้านเย็นของเทอร์โมอิเล็กตริกมีอุณหภูมิประมาณ  $50 - 70\text{ }^{\circ}\text{C}$  ซึ่งมีอุณหภูมิใกล้เคียงกับขั้นตอนการทดลองผลิตไฟฟ้าเพื่อเลือกเทอร์โมอิเล็กตริกที่เหมาะสม

จากการทดลองการเปรียบเทียบอุณหภูมิด้านร้อนและด้านเย็นของเทอร์โมอิเล็กตริกกรณีการนำอากาศร้อนกลับมาใช้ต่อ กัน ผลการทดลองบ่งชี้ว่า เมื่อนำอากาศร้อนกลับมาใช้ร้อยละ 100 อุณหภูมิด้านร้อนของเทอร์โมอิเล็กตริกมีอุณหภูมิเฉลี่ย  $218\text{ }^{\circ}\text{C}$  และเมื่อนำอากาศร้อนกลับมาใช้ร้อยละ 75, 50 และ 25 อุณหภูมิด้านร้อนของเทอร์โมอิเล็กตริกมีอุณหภูมิเฉลี่ยเป็น  $225, 235$  และ  $240\text{ }^{\circ}\text{C}$  ตามลำดับ เนื่องจากการนำอากาศร้อนกลับมาใช้ช่วยลดการสูญเสียอากาศร้อนที่ใช้ในกระบวนการแห้ง ดังนั้นเมื่อกำหนดร้อยละการนำอากาศร้อนกลับมาใช้ลดลงจึงต้องเพิ่มอุณหภูมิของเครื่องแลกเปลี่ยนความร้อนที่ใช้อุณหภูมิให้เพิ่มขึ้น ส่วนอุณหภูมิด้านเย็นของเทอร์โมอิเล็กตริกเมื่อนำอากาศร้อนกลับมาใช้ร้อยละ 100 อุณหภูมิด้านเย็นของเทอร์โมอิเล็กตริกมีอุณหภูมิเฉลี่ย  $70\text{ }^{\circ}\text{C}$  และเมื่อนำอากาศร้อนกลับมาใช้ร้อยละ 75, 50 และ 25 อุณหภูมิด้านเย็นของเทอร์โมอิเล็กตริกมีอุณหภูมิ

เฉลี่ยเป็น 64, 58 และ 50 °C ตามลำดับ สูปคุณภูมิของเทอร์โมอิเล็กตริกที่กรณีการนำอากาศร้อนกลับมาใช้ต่างกันได้ดังตาราง 8

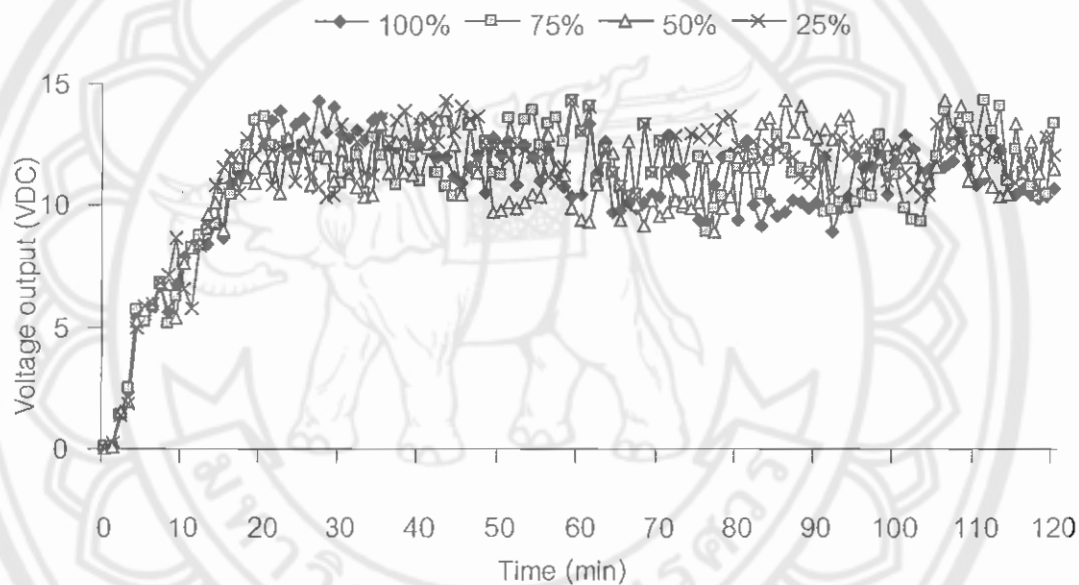
ตาราง 8 สูปคุณภูมิของเทอร์โมอิเล็กตริกที่กรณีการนำอากาศร้อนกลับมาใช้ต่างกัน

กรณีการนำอากาศร้อนกลับมาใช้ใหม่	อุณหภูมิด้านร้อน (°C)	อุณหภูมิด้านเย็น (°C)	ความแตกต่าง (°C)	อุณหภูมิแวดล้อม (°C)
100 %	218	70	148	35
75 %	225	64	161	35
50 %	235	58	177	35
25 %	240	50	190	35

เมื่อพิจารณาความสัมพันธ์ของอุณหภูมิด้านร้อนและด้านเย็นของเทอร์โมอิเล็กตริกกรณีการนำอากาศร้อนกลับมาใช้ต่างกัน จากการทดลองของบ้างเพื่อศึกษาประสิทธิภาพของระบบผลิตไฟฟ้า พบว่าอุณหภูมิด้านร้อนของเทอร์โมอิเล็กตริกลดลงเมื่อมีการนำอากาศร้อนกลับมาใช้เพิ่มขึ้น เนื่องจากการนำอากาศร้อนกลับมาใช้ช่วยลดการใช้พลังงานในการอบแห้ง สงผลให้อุณหภูมิของผนังเครื่องแลกเปลี่ยนความร้อนจากการเผาไหม้ลดลง และอุณหภูมิด้านเย็นของเทอร์โมอิเล็กตริกลดลงเมื่อมีการนำอากาศร้อนกลับมาใช้เพิ่มขึ้น เช่นกันแต่มีความแตกต่างไม่มาก เมื่อพิจารณาถึงผลของการผลิตไฟฟ้าซึ่งต่างกันประมาณ 0.2 W หรือคิดเป็นร้อยละ 0.89 และจากผลการทดลองพบว่าความสามารถในการระบายความร้อนของทองแดงระบายความร้อนแต่ละชุดมีความสามารถในการระบายความร้อนที่ตัดเทียบกัน ทำให้การทำงานของระบบผลิตไฟฟ้าเป็นไปอย่างมีประสิทธิภาพ เนื่องจากน้ำมีความสามารถในการนำความร้อนที่ดี เพียงพอสำหรับการนำความร้อนที่ต้องการระบายออกจากทองแดงระบายความร้อน จึงสงผลให้อุณหภูมิด้านเย็นของเทอร์โมอิเล็กตริกมีอุณหภูมิเฉลี่ยค่อนข้างคงที่ในกรณีการนำอากาศร้อนกลับมาใช้ต่างกัน และการกระจายความร้อนบริเวณผนังด้านหลังของเครื่องแลกเปลี่ยนความร้อนมีการกระจายความร้อนอย่างสม่ำเสมอทั่วบริเวณ สงผลให้ความสามารถในการผลิตไฟฟ้าของเทอร์โมอิเล็กตริกแต่ละโมดูลสามารถผลิตไฟฟ้าได้ตัดเทียบกัน

### 3. เปรียบเทียบแรงดันไฟฟ้า

ในการทดสอบประสิทธิภาพของระบบเทอร์โมอิเล็กตริกผลิตไฟฟ้ากรณีการนำอากาศร้อนกลับมาใช้ต่างกัน การศึกษาเปรียบเทียบแรงดันไฟฟ้าเพื่อศึกษาถึงผลการผลิตไฟฟ้าของระบบเทอร์โมอิเล็กตริกผลิตไฟฟ้า การทดลองทำการควบคุมแรงดันไฟฟ้าที่ระบบเทอร์โมอิเล็กตริกผลิตได้ให้มีค่า 12 V ซึ่งเป็นแรงดันไฟฟ้าที่พัดลมระบบอากาศต้องการ (0.5 A, 12 VDC) ซึ่งเป็นผลจากการควบคุมอุณหภูมิผนังเครื่องแลกเปลี่ยนความร้อนให้อุ่นในช่วงที่กำหนดในทุกรอบของการทดสอบการนำอากาศร้อนกลับมาใช้ต่างกัน แสดงผลการทดลองดังภาพ 48



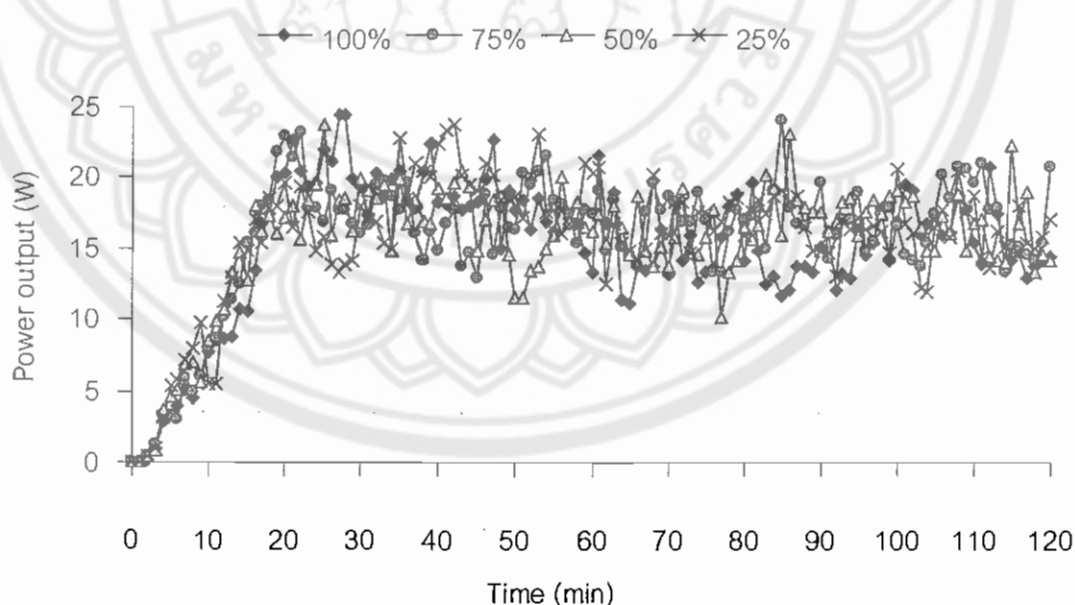
ภาพ 48 การเปรียบเทียบแรงดันไฟฟ้ากรณีการนำอากาศร้อนกลับมาใช้ต่างกัน

จากการทดลองเมื่อเปรียบเทียบความสัมพันธ์ของแรงดันไฟฟ้ากรณีการนำอากาศร้อนกลับมาใช้ต่างกัน ผลการทดลองพบแห่งเพื่อศึกษาประสิทธิภาพของระบบผลิตไฟฟ้าบ่งชี้ว่า การนำอากาศร้อนกลับมาใช้ในสัดส่วนที่ต่างกันไม่ส่งผลต่อแรงดันไฟฟ้าที่ระบบเทอร์โมอิเล็กตริกผลิตไฟฟ้าผลิตได้ ซึ่งแรงดันไฟฟ้าที่ผลิตได้มีค่าอยู่ในช่วง 10 - 14 VDC ซึ่งอยู่ในช่วงแรงดันไฟฟ้าที่พัดลมระบบอากาศทำงาน เนื่องจากพัดลมระบบอากาศเริ่มทำงานที่แรงดันไฟฟ้า 7 VDC และมีวงจรตัดไฟอัตโนมัติเพื่อป้องกันความเสียหายของอุปกรณ์กรณีที่แรงดันไฟฟ้าสูงกว่า 15 VDC

เมื่อพิจารณาการผลิตไฟฟ้าจากความร้อนของผนังเครื่องแลกเปลี่ยนความร้อนของเครื่องอบแห้งชีวนวลด แรงดันไฟฟ้าที่ระบบเทอร์โมอิเล็กทริกผลิตได้นำมาใช้โดยตรงโดยไม่มีการผ่านเครื่องปรับแรงดัน (DC to DC) ให้คงที่ก่อน ดังนั้นแรงดันไฟฟ้าที่ผลิตได้จะไม่รับเรียบเสมือนไฟฟ้าที่ได้จากสายสูงหรือแบตเตอรี่สำรอง แต่ผลจากการสังเกตการทำงานของระบบผลิตเทอร์โมอิเล็กทริกผลิตไฟฟ้าและการทำงานของพัดลมระบายน้ำอากาศเป็นไปอย่างสม่ำเสมอ เนื่องจากแรงดันไฟฟ้าที่ระบบผลิตไฟฟ้าผลิตได้อくู่ในช่วงที่พัดลมระบายน้ำอากาศทำงานเต็มประสิทธิภาพ และภายในพัดลมระบายน้ำอากาศมีวงจรปรับแรงดันไฟฟ้าเพื่อป้องกันการเสียหายของอุปกรณ์

#### 4. เปรียบเทียบกำลังไฟฟ้า

ในการทดสอบประสิทธิภาพของระบบเทอร์โมอิเล็กทริกผลิตไฟฟ้า การศึกษาเปรียบเทียบกำลังไฟฟ้า เพื่อศึกษาถึงผลการผลิตไฟฟ้าของระบบเทอร์โมอิเล็กทริกผลิตไฟฟ้า การทดลองทำการควบคุมกำลังไฟฟ้าที่ระบบเทอร์โมอิเล็กทริกผลิตได้ให้มากที่สุด เพื่อให้เพียงพอต่อพัดลมระบายน้ำอากาศ 4 ตัว แสดงผลการทดลองดังภาพ 49



ภาพ 49 การเปรียบเทียบกำลังไฟฟ้ากรณีการนำอากาศร้อนกลับมาใช้ต่อไป

จากการทดลองเมื่อเปรียบเทียบความสัมพันธ์ของกำลังไฟฟ้ากรณีการนำอากาศร้อนกลับมาใช้ต่างกัน ผลการทดลองพบแห่งเพื่อศึกษาประสิทธิภาพของระบบผลิตไฟฟ้าพบว่า การนำอากาศร้อนกลับมาใช้ในสัดสวนที่ต่างกันไม่ส่งผลต่อกำลังไฟฟ้าที่ระบบเทอร์โมอิเล็กตริก ผลิตไฟฟ้าผลิตได้ ซึ่งกำลังไฟฟ้าที่ผลิตได้ออยู่ในช่วง 12.2 – 22.4 W หากพ่อสำหรับจ่ายให้กับพัดลมระบบอากาศจำนวน 4 ตัว ซึ่งต้องการกำลังไฟฟ้าเพียงตัวละ 0.96 – 6.00 W

ดังนั้นจากขั้นตอนการทดสอบประสิทธิภาพระบบผลิตไฟฟ้าที่ได้ออกแบบและติดตั้งพบว่าระบบเทอร์โมอิเล็กตริกผลิตไฟฟ้าจำนวน 2 ชุด สามารถผลิตไฟฟ้าได้เพียงพอสำหรับจ่ายให้กับพัดลมระบบอากาศจำนวน 4 ตัว เพื่อการทำงานอย่างมีเสถียรภาพและเต็มประสิทธิภาพ สามารถสรุปประสิทธิภาพของระบบผลิตไฟฟ้าแสดงดังตาราง 9

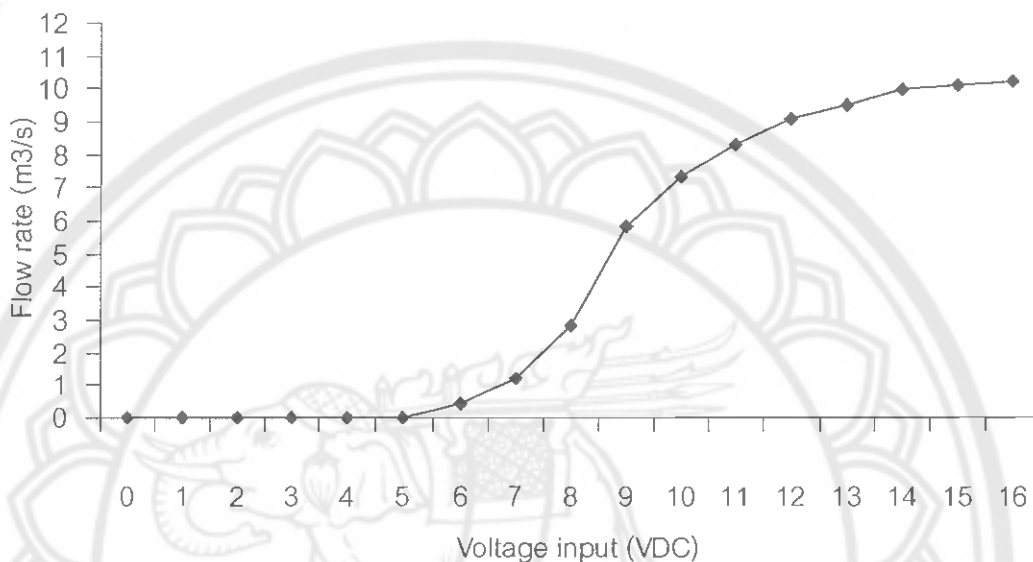
ตาราง 9 ข้อมูลสรุประบบผลิตไฟฟ้าด้วยความร้อนทิ้งจากเครื่องอบแห้งชีวนิเวศ

ข้อมูล	ปริมาณ
แรงดันไฟฟ้า	10.2 – 14.0 VDC
กระแสไฟฟ้า	1.2 – 1.6 A
กำลังไฟฟ้า	12.24 – 22.40 W
อุณหภูมิห้องอบแห้ง	64 – 81 °C
อุณหภูมิด้านร้อนของเทอร์โมอิเล็กตริก	218 - 240 °C
อุณหภูมิด้านเย็นของเทอร์โมอิเล็กตริก	50 - 70 °C
อุณหภูมิน้ำก้อนผ่านทองแดงระบบอากาศความร้อน	~35 °C
อุณหภูมน้ำหลังผ่านทองแดงระบบอากาศความร้อน	~40 °C
ปริมาณไอน้ำของอากาศ	~ 9.62 m <sup>3</sup> /s
ราคาพลังงาน	1.87 บาท/Wh

##### 5 อิทธิพลของแรงดันไฟฟ้าต่อปริมาณการไอน้ำของอากาศ

ในการทดลองผลของการรับค่าแรงดันไฟฟ้าต่อปริมาณการไอน้ำของอากาศ โดยการปรับค่าแรงดันไฟฟ้าที่ป้อนให้กับพัดลมระบบอากาศที่ติดตั้งให้กับเครื่องอบแห้งชีวนิเวศ เพื่อศึกษาถึงอิทธิพลของแรงดันไฟฟ้าต่อปริมาณการไอน้ำของอากาศซึ่งเป็นตัวแปรสำคัญในการพานิชชีนออกจากผลิตภัณฑ์ การทดลองทำการปรับค่าแรงดันไฟฟ้าที่ป้อนให้กับพัดลมระบบ

อากาศที่ 1 - 18 VDC ใช้เครื่องวัดความเร็วลมวัดค่าบริเวณกลางใบพัด ทำการวัดที่ค่าแรงดันไฟฟ้าค่าละ 6 ตำแหน่งและใช้การหาค่าเฉลี่ยจากการผลการทดลอง แสดงผลการทดลองดังภาพ 50



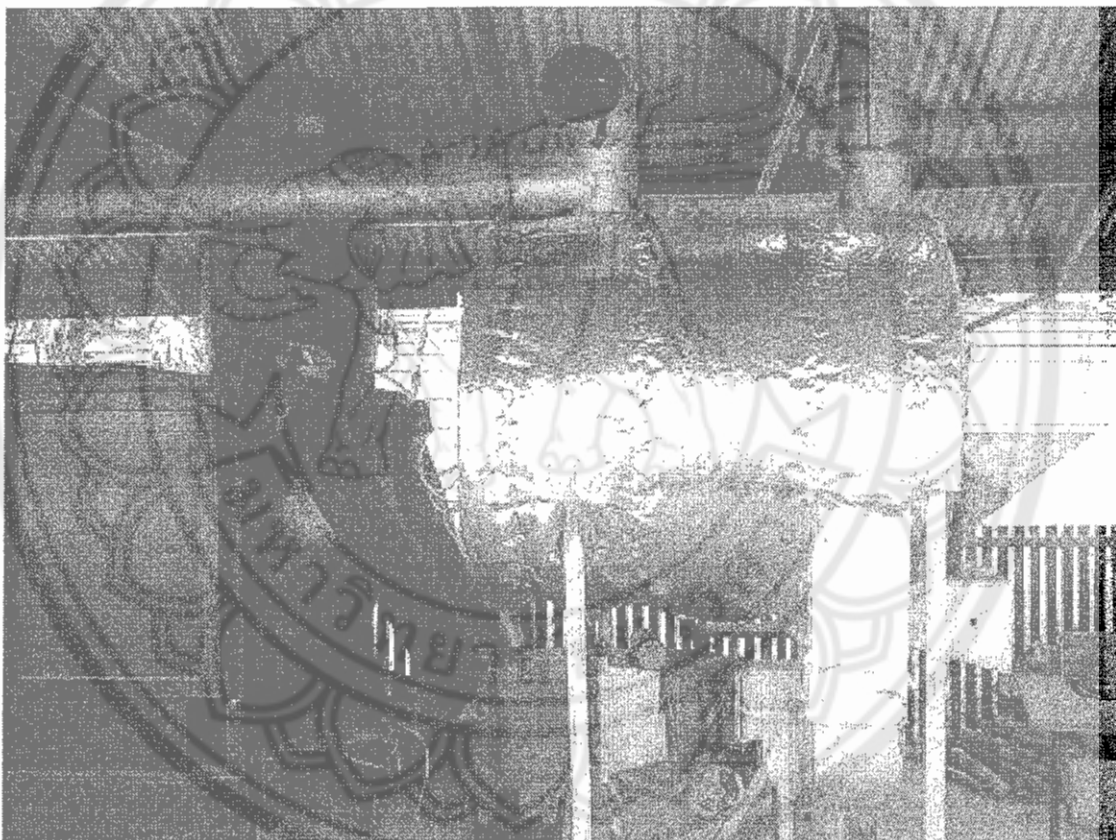
ภาพ 50 อิทธิพลของแรงดันไฟฟ้าต่อปริมาณการไหลของอากาศ

จากการทดลองการปรับค่าแรงดันไฟฟ้าที่ป้อนให้กับพัดลมระบายน้ำอากาศ เพื่อศึกษาถึงอิทธิพลของแรงดันไฟฟ้าต่อปริมาณการไหลของอากาศ ผลการทดลองชี้ให้เห็นว่าพัดลมระบายน้ำอากาศเริ่มทำงานที่แรงดันไฟฟ้าตั้งแต่ 6 – 16 VDC ปริมาณของอากาศที่หล่อผ่านที่แรงดันไฟฟ้าประมาณ 10.2 – 14.0 VDC ซึ่งเป็นแรงดันไฟฟ้าที่ระบบเทอร์โมอิเล็กตริกผลิตไฟฟ้าผลิตได้มีปริมาตร 7.35 – 9.95  $\text{m}^3/\text{s}$  ซึ่งมีปริมาตรเทียบเท่ากับปริมาณการไหลของพัดลมระบายน้ำอากาศเดิม

เมื่อพิจารณาผลการศึกษาการทดลองการปรับค่าแรงดันไฟฟ้าที่ป้อนให้กับพัดลมระบายน้ำอากาศพบว่า พัดลมระบายน้ำอากาศสำหรับเครื่องคอมพิวเตอร์จำนวน 4 ตัว สามารถใช้สำหรับระบายน้ำอากาศในเครื่องคอมพิวเตอร์ได้โดยมีปริมาตรการไหลของอากาศเทียบเท่ากับปริมาตรการไหลของพัดลมระบายน้ำอากาศเดิม และพัดลมระบายน้ำอากาศมีวงจรภายในสำหรับติดไฟฟ้า เมื่อแรงดันไฟฟ้าที่ป้อนให้กับพัดลมระบายน้ำอากาศสูงกว่า 16 VDC

## 6 การปรับปรุงเครื่องอบแห้งเพื่อลดการสูญเสียความร้อน

โดยในขั้นตอนติดตั้งระบบเทอร์โมอิเล็กตริกผลิตไฟฟ้าได้ทำการปรับปรุงเครื่องอบแห้งชีวมวล โดยการหุ้มฉนวนกันความร้อนด้วยไมโครไฟเบอร์ แสดงดังภาพ 51 เพื่อลดการสูญเสียพลังงานความร้อนโดยเปล่าประโยชน์จากผนังเครื่องแลกเปลี่ยนความร้อนซึ่งส่งผลต่อการใช้พลังงานในการอบแห้ง ใช้วัดอัตราการสูญเสียพลังงานความร้อนบริเวณผนังโดยรอบของเครื่องแลกเปลี่ยนความร้อนจำนวน 6 จุด ด้วยเครื่องวัดความร้อนสูญเสีย และใช้การหาค่าเฉลี่ยของข้อมูลเพื่อกำหนด

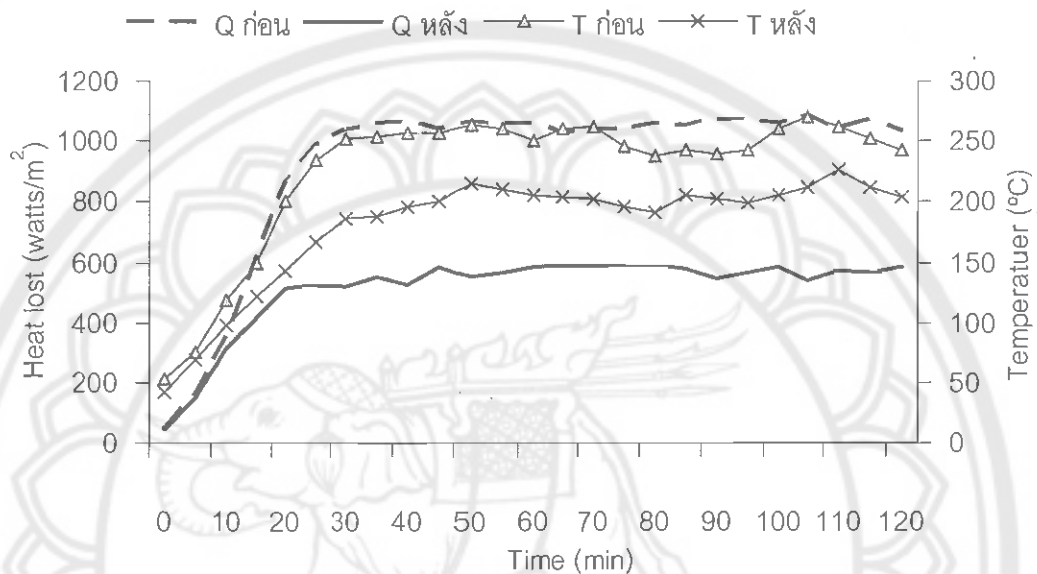


ภาพ 51 เครื่องแลกเปลี่ยนความร้อนหลังหุ้มฉนวนไมโครไฟเบอร์กันความร้อน

## 7 เปรียบเทียบปริมาณความร้อนสูญเสียจากผนังเครื่องแลกเปลี่ยนความร้อน

การเปรียบเทียบปริมาณความร้อนสูญเสียจากผนังเครื่องแลกเปลี่ยนความร้อน ใช้การพิจารณาเปรียบเทียบปริมาณความร้อนสูญเสียจากผนังเครื่องแลกเปลี่ยนความร้อน ในขั้นตอนการทดลองเบื้องต้นเพื่อหาอุณหภูมิผนังเครื่องแลกเปลี่ยนความร้อน และขั้นตอนการทดสอบประสิทธิภาพในการผลิตไฟฟ้าของระบบเทอร์โมอิเล็กตริกผลิตไฟฟ้า เพื่อศึกษาถึง

ปริมาณการใช้พลังงานความร้อนของระบบอบแห้ง และเปรียบเทียบการใช้พลังงานรวมในการอบแห้งก่อนและหลังการติดตั้งระบบผลิตไฟฟ้าและการปรับปรุงเครื่องอบแห้ง แสดงผลการทดลองดังภาพ 52



ภาพ 52 เปรียบเทียบอุณหภูมิและปริมาณความร้อนที่สูญเสีย

ในการทดลองเปรียบเทียบปริมาณความร้อนสูญเสียจากผนังเครื่องแก๊สเปลี่ยนความร้อนในขั้นตอนการทดลองเบื้องต้นเพื่อหาอุณหภูมิผนังเครื่องแก๊สเปลี่ยนความร้อน และขั้นตอนการทดสอบประสิทธิภาพในการผลิตไฟฟ้าของระบบเทอร์โมอิเล็กตริกผลิตไฟฟ้า พบร่วมปริมาณความร้อนสูญเสียจากผนังเครื่องแก๊สเปลี่ยนความร้อนในขั้นตอนการทดลองเบื้องต้นเพื่อหาอุณหภูมิผนังเครื่องแก๊สเปลี่ยนความร้อนเฉลี่ย  $1,041.43 \text{ W/m}^2$  และปริมาณความร้อนสูญเสียจากผนังเครื่องแก๊สเปลี่ยนความร้อนในขั้นตอนการทดสอบประสิทธิภาพในการผลิตไฟฟ้าของระบบเทอร์โมอิเล็กตริกผลิตไฟฟ้าเฉลี่ย  $560.85 \text{ W/m}^2$  พิจารณาเปรียบเทียบปริมาณพลังงานความร้อนสูญเสียจากผนังเครื่องแก๊สเปลี่ยนความร้อนลดลงร้อยละ 53.8

เมื่อพิจารณาถึงการเปรียบเทียบปริมาณความร้อนสูญเสียจากผนังเครื่องแก๊สเปลี่ยนความร้อนในขั้นตอนการทดลองเบื้องต้นเพื่อหาอุณหภูมิผนังเครื่องแก๊สเปลี่ยนความร้อน และขั้นตอนการทดสอบประสิทธิภาพในการผลิตไฟฟ้าของระบบเทอร์โมอิเล็กตริกผลิตไฟฟ้า พบร่วมกันจำนวนความร้อนสามารถช่วยลดการสูญเสียพลังงานความร้อนจากผนังเครื่องแก๊สเปลี่ยนความร้อนได้เป็นอย่างดี รวมถึงสามารถนำอากาศร้อนกลับมาใช้ในการอบแห้ง

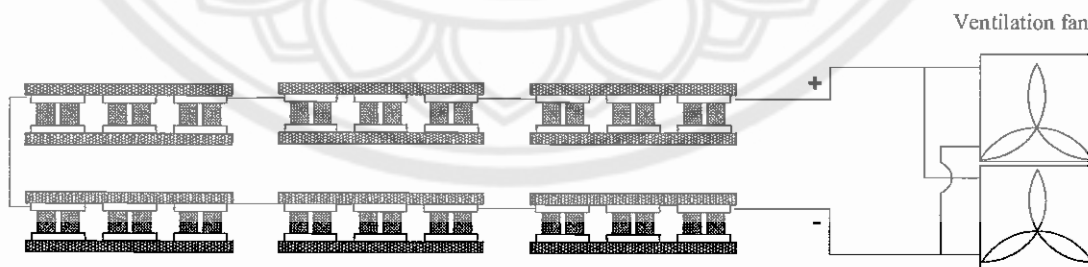
ผลิตภัณฑ์ได้มากขึ้น สามารถช่วยลดการสูญเสียพลังงานความร้อนในการอบแห้งได้ ทั้งนี้สัดส่วนของการนำอากาศร้อนกลับมาใช้ต้องคำนึงถึงปริมาณความชื้นในผลิตภัณฑ์ และปริมาณความชื้นในอากาศด้วยเช่นกัน

### การวิเคราะห์ประสิทธิภาพของระบบผลิตไฟฟ้า

ในขั้นตอนการวิเคราะห์ประสิทธิภาพในการผลิตไฟฟ้าของระบบเทอร์โมอิเล็กทริกผลิตไฟฟ้า ใช้การวิเคราะห์กำลังไฟฟ้าที่ผลิตได้ เทียบกับความสามารถในการระบายความร้อนจากต้านร้อนของเทอร์โมอิเล็กทริกเพื่อหาประสิทธิภาพในการผลิตไฟฟ้าของเทอร์โมอิเล็กทริก และการวิเคราะห์เปรียบเทียบการใช้พลังงานในการอบแห้งในขั้นตอนการทดลองเบื้องต้นเพื่อหาอุณหภูมิผนังเครื่องแลกเปลี่ยนความร้อน และขั้นตอนการทดสอบประสิทธิภาพในการผลิตไฟฟ้าของระบบเทอร์โมอิเล็กทริกผลิตไฟฟ้า เพื่อศึกษาการลดปริมาณความร้อนที่ใช้ในระบบอบแห้งและมูลค่าพลังงานในการอบแห้งที่การลดลง

#### 1 กำลังไฟฟ้าที่ผลิตได้จากระบบเทอร์โมอิเล็กทริกผลิตไฟฟ้า

กำลังไฟฟ้าที่ระบบเทอร์โมอิเล็กทริกผลิตไฟฟ้าผลิตได้ใช้ข้อมูลจากการทดสอบประสิทธิภาพในการผลิตไฟฟ้าของระบบเทอร์โมอิเล็กทริกผลิตไฟฟ้า โดยค่าแรงดันไฟฟ้าและกระแสไฟฟ้าที่ใช้ในการคำนวนเป็นค่าที่ได้จากระบบผลิตไฟฟ้าหนึ่งชุดซึ่งประกอบด้วยเทอร์โมอิเล็กทริกต่ออนุกรมจำนวน 6 มोดูล แผนภาพวงจรไฟฟ้าของระบบผลิตไฟฟ้าแสดงดังภาพ 53



ภาพ 53 วงจรไฟฟ้าของระบบผลิตไฟฟ้าหนึ่งชุด

ดังนั้นกำลังไฟฟ้าที่ผลิตได้จากระบบเทอร์โมอิเล็กตริกผลิตไฟฟ้า 1 ชุด สามารถคำนวณได้จาก

$$P_0 = IV \quad (15)$$

โดยที่

$$\begin{aligned} P_0 &= \text{กำลังไฟฟ้าที่ผลิตได้} \\ I &= \text{กระแสไฟฟ้าที่ผลิตได้} \quad (1.6 \text{ A}) \\ V &= \text{แรงดันไฟฟ้าที่ผลิตได้} \quad (14.0 \text{ VDC}) \end{aligned}$$

จะได้

$$\begin{aligned} P_0 &= (1.6 \text{ A}) (14.0 \text{ VDC}) \\ &= 22.40 \text{ Wh / set} \end{aligned}$$

ดังนั้นกำลังไฟฟ้าที่ผลิตได้จากระบบเทอร์โมอิเล็กตริกผลิตไฟฟ้านี้ชุด มีค่าเท่ากับ 22.40 W สำหรับจ่ายให้กับพัดลมระบายอากาศจำนวน 2 ตัว ที่มีการเชื่อมต่อแบบขนาน

ระบบเทอร์โมอิเล็กตริกผลิตไฟฟ้าที่ติดตั้งให้กับเครื่องอบแห้งชีวนะมีจำนวน 2 ชุด กำลังไฟฟ้าที่ผลิตได้จะมีปริมาณเป็น 2 เท่าของระบบผลิตไฟฟ้า 1 ชุด ดังนั้นกำลังไฟฟ้าที่ผลิตได้จากระบบเทอร์โมอิเล็กตริกผลิตไฟฟ้าจำนวน 2 ชุด ด้วยเทอร์โมอิเล็กตริกจำนวน 12 โมดูล สามารถคำนวณได้จาก

$$\begin{aligned} P_1 &= (22.40 \text{ Wh/set})(2 \text{ set}) \\ &= 44.8 \text{ Wh} \end{aligned}$$

ดังนี้ กำลังไฟฟาร่วมที่ระบบเทอร์โมอิเล็กตริกผลิตไฟฟ้าผลิตได้ต่อพื้นที่ผิวของเทอร์โมอิเล็กตริก สามารถคำนวณเป็นกำลังไฟฟ้าที่ระบบผลิตไฟฟ้าผลิตได้ต่อพื้นที่ในการผลิตไฟฟ้าได้จาก

$$P = \frac{P_1}{A} \quad (16)$$

โดยที่

$$P_1 = \text{กำลังไฟฟ้าที่ผลิตได้} \quad (44.8 \text{ Wh})$$

$$A = \text{พื้นที่ผิวของเทอร์โมอิเล็กตริก} \quad (0.0192 \text{ m}^2)$$

เนื่องจาก

$$A = A_1 \times n \quad (17)$$

เมื่อ

$$A_1 = \text{พื้นที่ผิวของเทอร์โมอิเล็กตริก 1 โมดูล} \quad (0.0016 \text{ m}^2 / \text{module})$$

$$n = \text{จำนวนเทอร์โมอิเล็กตริกโมดูล} \quad (12 \text{ module})$$

จะได้

$$A = (0.0016 \text{ m}^2 / \text{module}) \times (12 \text{ module})$$

$$= 0.0192 \text{ m}^2$$

และ

$$P = (268.2 \text{ Wh}) / (0.0192 \text{ m}^2)$$

$$= 2,333.33 \text{ Wh / m}^2$$

ดังนั้นกำลังไฟฟ้าที่ผลิตได้ต่อพื้นที่คำนวณจากการสามารถในการผลิตไฟฟ้าของเทอร์โมอิเล็กตริกมีค่าเท่ากับ  $2,333.33 \text{ Wh / m}^2$  ที่อุณหภูมิด้านร้อนและด้านเย็นของเทอร์โมอิเล็กตริก มีค่าเท่ากับ  $200^\circ\text{C}$  และ  $50^\circ\text{C}$  ตามลำดับ

## 2 ความสามารถในการระบายความร้อนของชุดทองแดงระหว่างความร้อน

ความสามารถในการระบายความร้อนของชุดทองแดงระหว่างความร้อนใช้ข้อมูลในการคำนวณจากการทดสอบประสิทธิภาพของระบบผลิตไฟฟ้าคือ อุณหภูมิด้านร้อนและด้านเย็นของเทอร์โมอิเล็กตริก โดยข้อมูลที่ใช้เป็นค่าที่ได้จากค่าเฉลี่ยของข้อมูลจากการทดลอง สามารถคำนวณได้จาก

$$Q = \dot{m}c_p(T_h - T_c) \quad (18)$$

โดยที่

$$\begin{aligned}
 Q &= อัตราการถ่ายเทพลังงานของชุดทองแดงระบายความร้อน \\
 m &= อัตราไฟลเทิงมวลของน้ำระบายความร้อน && (0.000049 \text{ kg} / \text{s}) \\
 C_p &= ค่าความจุความร้อนของน้ำ && (0.2161 \text{ kJ} / \text{kg} ^\circ\text{C}) \\
 T_h &= อุณหภูมิต้านวันของเทอร์โมอิเล็กตริก && (200 ^\circ\text{C}) \\
 T_c &= อุณหภูมิต้านเย็นของเทอร์โมอิเล็กตริก && (50 ^\circ\text{C})
 \end{aligned}$$

จะได้

$$\begin{aligned}
 Q &= (0.000049 \text{ kg} / \text{s})(2,161 \text{ J} / \text{kg} ^\circ\text{C})(200 ^\circ\text{C} - 50 ^\circ\text{C}) \\
 &= (15.88 \text{ J} / \text{s}) \times (1 \text{ W s} / \text{J}) \times (3,600 \text{ s} / \text{hr}) \\
 &= 57,180.06 \text{ Wh}
 \end{aligned}$$

ดังนั้นความสามารถในการระบายความร้อนของชุดทองแดงระบายความร้อนมีค่าเท่ากับ 57,180.06 Wh

### 3 ประสิทธิภาพในการผลิตไฟฟ้าของเทอร์โมอิเล็กตริก

ประสิทธิภาพในการผลิตไฟฟ้าหรือความสามารถในการผลิตไฟฟ้าของเทอร์โมอิเล็กตริกหมายถึงความสามารถในการแปลงพลังงานความร้อนที่เทอร์โมอิเล็กตริกได้รับเป็นพลังงานไฟฟ้าถ้าไฟฟ้าที่เทอร์โมอิเล็กตริกผลิตได้มีกำลังสูงแสดงว่าเทอร์โมอิเล็กตริกมีประสิทธิภาพในการผลิตไฟฟ้าสูง สามารถหาได้จากสมการ

$$\eta = \frac{P_o}{Q_h} \times 100 \% \quad (19)$$

โดยที่

$$\begin{aligned}
 \eta &= ประสิทธิภาพในการผลิตไฟฟ้าของเทอร์โมอิเล็กตริก \\
 P_o &= กำลังไฟฟ้าที่ผลิตได้ && (2,333.33 \text{ Wh}) \\
 Q_h &= ความสามารถในการระบายความร้อน && (57,180.06 \text{ Wh})
 \end{aligned}$$

จะได้

$$\eta = \frac{(2,333.33 \text{ Wh})}{(57,180.06 \text{ Wh})} \times 100 \% \\ = 4.08 \%$$

ดังนั้นประสิทธิภาพในการผลิตไฟฟ้าจากความร้อนของเทอร์โมอิเล็กตริกคิดเป็นร้อยละ 4.08

#### 4 การใช้พลังงานของระบบอบแห้ง

การใช้พลังงานของระบบอบแห้งพิจารณาจากพลังงานทั้งหมดที่ใช้ในการอบแห้ง แบ่งออกเป็น 2 ส่วนเพื่อการเปรียบเทียบ คือ การใช้พลังงานรวมในการอบแห้งในขั้นตอนการทดลอง เป็นองต้นเพื่อหาอุณหภูมิผ่านเครื่องแลกเปลี่ยนความร้อน และการใช้พลังงานรวมในการอบแห้งในขั้นตอนการทดสอบประสิทธิภาพในการผลิตไฟฟ้าของระบบเทอร์โมอิเล็กตริกผลิตไฟฟ้า โดยมีรายละเอียดการพิจารณาดังนี้

4.1 ก่อนปรับปรุงเครื่องอบแห้ง พลังงานที่ใช้ในการอบแห้งแบ่งออกเป็นสองส่วนคือ

- พลังงานความร้อนจากไม้พื้น สามารถคำนวณได้จาก

$$\text{พลังงานความร้อน} = C_p m \quad (20)$$

โดยที่

$$C_p = \text{ความจุความร้อนของไม้ยูคาลิปตัส} \quad (20,083.2 \text{ kJ / kg} \cdot ^\circ\text{C}) \quad [24] \\ M = \text{มวลของไม้ยูคาลิปตัส} \quad (6.0 \text{ kg})$$

จะได้

$$\text{พลังงานความร้อน} = (20,083.2 \text{ kJ / kg})(6.0 \text{ kg}) \\ = 120,499.2 \text{ kJ}$$

- พลังงานไฟฟ้าที่ป้อนให้กับมอเตอร์ไฟฟ้า สามารถคำนวณได้จาก

$$\text{พลังงานไฟฟ้า} = P \times t \quad (21)$$

โดยที่

$$P = \text{กำลังไฟฟ้าของมอเตอร์} \quad (1,562 \text{ Wh})$$

$$t = \text{เวลาที่ใช้ไฟฟ้า} \quad (2 \text{ hr})$$

จะได้

$$\begin{aligned} \text{พลังงานไฟฟ้า} &= (1.562 \text{ kWh})(2 \text{ hr})(3600 \text{ kJ/kWh}) \\ &= 11,246.4 \text{ kJ} \end{aligned}$$

- พลังงานรวมของระบบอบแห้งก่อนการปรับปูงเครื่องอบแห้ง

$$\begin{aligned} \text{พลังงานรวม} &= \text{พลังงานความร้อน} + \text{พลังงานไฟฟ้า} \\ &= (120,499.2 \text{ kJ}) + (11,246.4 \text{ kJ}) \\ &= 131,745.6 \text{ kJ} \end{aligned}$$

ดังนั้นพลังงานรวมที่ใช้ในการอบแห้งก่อนการปรับปูงเครื่องอบแห้งมีค่าเท่ากับ  
123,623.2 kJ

#### 4.2 หลังปรับปูงเครื่องอบแห้ง พลังงานที่ใช้มีเพียง

- พลังงานความร้อนจากไม้พื้น สามารถคำนวณได้จาก

$$\text{พลังงานความร้อน} = C_p m$$

โดยที่

$$C_p = \text{ความจุความร้อนของไม้ยูคาลิปตัส} \quad (20,083.2 \text{ kJ / kg} \cdot ^\circ\text{C})$$

$$m = \text{มวลของไม้ยูคาลิปตัส} \quad (2.8 \text{ kg})$$

มวลของไม้ยูคาลิปตัสที่ใช้ในการอบแห้งลดลง เนื่องจากการหุ่มชนวนกันความร้อนแก่เครื่องเล็กเปลี่ยนความร้อน ซึ่งช่วยลดการสูญเสียความร้อนบริเวณผนังทำให้การใช้ไม้ยูคาลิปตัสเพื่อเป็นเชื้อเพลิงในการอบแห้งลดลง

จะได้

$$\begin{aligned}\text{พลังงานความร้อน} &= (20,083.2 \text{ kJ/kg})(2.8 \text{ kg}) \\ &= 56,232.9 \text{ kJ}\end{aligned}$$

ดังนั้นพลังงานรวมที่ใช้ในการอบแห้งหลังการปรับปรุงเครื่องอบแห้งมีค่าเท่ากับ 56,232.9 kJ

พลังงานที่ประหยัดได้

พลังงานที่ประหยัดได้จากการติดตั้งระบบเทอร์โมอิเล็กตริกผลิตไฟฟ้า และการปรับปรุงเครื่องอบแห้งชีวมวล สามารถคำนวณได้จาก

$$\begin{aligned}\text{พลังงานที่ประหยัดได้} &= (\text{ก่อนปรับปรุง} - \text{หลังปรับปรุง}) / \text{ระยะเวลาอบแห้ง} \quad (22) \\ &= (131,745.6 \text{ kJ}) - (56,232.9 \text{ kJ}) / (2 \text{ hr}) \\ &= 37,756.35 \text{ kJ/hr}\end{aligned}$$

ดังนั้นพลังงานที่ประหยัดได้จากการติดตั้งระบบเทอร์โมอิเล็กตริกผลิตไฟฟ้า และการปรับปรุงเครื่องอบแห้งชีวมวล คำนวณเป็นปริมาณพลังงานที่สามารถประหยัดได้ต่อชั่วโมงเท่ากับ 37,756.35 kJ/hr

## 5 การนำน้ำร้อนไปใช้ประโยชน์

จากขั้นตอนการทดสอบประสิทธิภาพในการผลิตไฟฟ้าของระบบเทอร์โมอิเล็กตริกผลิตไฟฟ้า พบร่วมน้ำที่ใช้ในการพาความร้อนออกจากท้องแดงระหว่างความร้อนเพื่อการระบบทำความร้อนจากด้านร้อนของเทอร์โมอิเล็กตริก เมื่อเหลือออกจากท้องแดงระหว่างความร้อนสูง รองรับ น้ำที่มีอุณหภูมิ 35 - 40 °C

จากการศึกษาเกี่ยวกับการใช้น้ำร้อนที่อุณหภูมิ 35 - 40 °C ทางการเกษตรพบว่า น้ำที่ผ่านการพาความร้อนจากท้องแดงระหว่างความร้อนมีอุณหภูมิต่ำกว่าที่จะสามารถนำไปใช้ประโยชน์ ทางการเกษตร แต่สามารถนำกลับมาใช้พาความร้อนจากท้องแดงระหว่างความร้อนในระบบ ระบบทำความร้อนได้อีกด้วยไม่ส่งผลกระทบต่อความสามารถในการระบบทำความร้อนจากท้องแดงระหว่างความร้อน

## การวิเคราะห์ทางเศรษฐศาสตร์

การวิเคราะห์ทางเศรษฐศาสตร์เกี่ยวกับความสามารถในการผลิตไฟฟ้าของระบบเทอร์โมอิเล็กทริกผลิตไฟฟ้า พิจารณาการทดสอบแทนพลังงานไฟฟ้าที่ใช้ในระบบอย่างจากสายส่งด้วยการผลิตไฟฟ้าจากระบบท่อร์โมอิเล็กทริกผลิตไฟฟ้า เพื่อนำมาจุดคุ้มทุนของการใช้ระบบเทอร์โมอิเล็กทริกผลิตไฟฟ้าและความน่าเชื่อถือในการลงทุน โดยแบ่งการวิเคราะห์ออกเป็นการอบแห้งที่ใช้พลังงานไฟฟ้าจากสายส่งเพื่อบาบอนให้กับมอเตอร์ไฟฟ้า และการอบแห้งที่ใช้พลังงานไฟฟ้าที่ผลิตขึ้นด้วยระบบเทอร์โมอิเล็กทริกผลิตไฟฟ้าเพื่อบาบอนให้กับพัดลมระบายอากาศ โดยมีสรุปการติดตั้งระบบเทอร์โมอิเล็กทริกผลิตไฟฟ้าและการปรับปรุงเครื่องอบแห้งชีวนวลด เปรียบเทียบกับเครื่องอบแห้งชีวนวลดก่อนการปรับปรุงที่ใช้มอเตอร์ไฟฟ้า แสดงดังตาราง 10 สามารถวิเคราะห์ทางเศรษฐศาสตร์เกี่ยวกับความสามารถในการผลิตไฟฟ้าของระบบเทอร์โมอิเล็กทริกผลิตไฟฟ้าได้ดังนี้

ตาราง 10 เปรียบเทียบเครื่องอบแห้งชีวนวลด (BDS) และเครื่องอบแห้งชีวนวลดร่วมกับระบบเทอร์โมอิเล็กทริกผลิตไฟฟ้า (BDTE)

ข้อมูล	BDS	BDTE
ปริมาณการใช้ไฟฟ้า (220 VAC)	1,562 kWh	-
ปริมาณการใช้เม็พิน	6.0 kg / h	2.3 kg / h
มูลค่าการลงทุนรายปี	37,253 บาท	11,780 บาท
ชนวนกันความร้อน	-	ไมโครไฟเบอร์
อุณหภูมิห้องอบแห้งเฉลี่ย (กรณีการนำอากาศกลับมาใช้ร้อยละ 100)	80 °C	81 °C
อุณหภูมิผนังเครื่องแลกเปลี่ยนความร้อนเฉลี่ย (กรณีการนำอากาศกลับมาใช้ร้อยละ 100)	250 °C	218 °C
ปริมาณการเหลาของอากาศเฉลี่ย (กรณีการนำอากาศกลับมาใช้ร้อยละ 100)	9.56 m³ / s	9.62 m³ / s
ปริมาณความร้อนสูญเสียเฉลี่ย (กรณีการนำอากาศกลับมาใช้ร้อยละ 100)	1,041.43 W / m²	560.85 W / m²
กำลังไฟฟ้าที่ผลิตได้ (12 VDC)	-	22.4 Wh

## 1 การวิเคราะห์เงินลงทุนรายปี

ในการวิเคราะห์เงินลงทุนรายปีนี้จะแบ่งการวิเคราะห์ออกเป็น 2 ส่วนเพื่อเปรียบเทียบเงินลงทุนรายปีของระบบการอบแห้งด้วยมอเตอร์ไฟฟ้า และการอบแห้งด้วยระบบเทอร์โมอิเล็กตริก ผลิตไฟฟ้า สำหรับใช้ในการคำนวณหาค่าผลตอบแทนสุทธิรายปีและระยะเวลาคืนทุนของระบบ ผลิตไฟฟ้า โดยใช้วิธีการประเมินอัตรา มูลค่าเงินลงทุนรายปีต่ออัตราผลตอบแทนรายปี สามารถคำนวณได้จาก

### 1.1 การอบแห้งด้วยมอเตอร์ไฟฟ้า

สำหรับการวิเคราะห์เศรษฐศาสตร์ของการอบแห้งด้วยมอเตอร์ไฟฟ้า มีสมมติฐานดังนี้

- กำหนดอายุการใช้งานของมอเตอร์ไฟฟ้า	10	ปี
- กำหนดอายุการใช้งานของสายพานมอเตอร์	3	เดือน
- ค่าไฟฟ้า	2.7	บาท / หน่วย
- ราคาเชื้อเพลิง	3.0	บาท / กิโลกรัม
- ระยะเวลาอบแห้งรายปี	450	ชั่วโมง / ปี

จากข้อมูลทางเศรษฐศาสตร์ สามารถคำนวณหาเงินลงทุนรายปีได้จาก

$$\begin{aligned}
 \text{มูลค่ารวมของเงินลงทุนรายปี} &= \text{เงินลงทุนของมอเตอร์ไฟฟ้ารายปี} \\
 &+ \text{เงินลงทุนของสายพานมอเตอร์รายปี} \\
 &+ \text{เงินลงทุนค่าพลังงาน(ไฟฟ้า + พืน)} \quad (23)
 \end{aligned}$$

จะได้

$$\begin{aligned}
 \text{มูลค่ารวมของเงินลงทุนรายปี} (C_m) &= (320) + (340) + (3,796 + 4,050) \\
 &= 8,506 \text{ บาท / ปี}
 \end{aligned}$$

ดังนั้นมูลค่ารวมของเงินลงทุนรายปีของการอบแห้งด้วยมอเตอร์ไฟฟ้ามีค่าเท่ากับ 8,506 บาท / ปี

### 1.2 การอบแห้งด้วยระบบเทอร์โมอิเล็กตริกผลิตไฟฟ้า

สำหรับการวิเคราะห์เศรษฐศาสตร์ของการอบแห้งด้วยระบบเทอร์โมอิเล็กตริกผลิตไฟฟ้า มีสมมติฐานดังนี้

- กำหนดอายุการใช้งานของเทอร์โมอิเล็กตริก	20	ปี
- กำหนดอายุการใช้งานของพัดลมระบายอากาศ 5		ปี
- กำหนดอายุการใช้งานของกองแห้งระบายความร้อน 20		ปี
- ราคาเชื้อเพลิง	3.0	บาท / กิโลกรัม
- ระยะเวลาอบแห้งรายปี	450	ชั่วโมง / ปี

จากข้อมูลทางเศรษฐศาสตร์ สามารถคำนวณหาเงินลงทุนรายปีได้จาก

$$\text{มูลค่ารวมของเงินลงทุนรายปี} = \text{เงินลงทุนของเทอร์โมอิเล็กตริกรายปี} + \text{เงินลงทุนของพัดลมระบายอากาศรายปี} + \text{เงินลงทุนของกองแห้งระบายความร้อน} + \text{เงินลงทุนค่าพลังงาน(ฟืน)} \quad (24)$$

จะได้

$$\begin{aligned} \text{เงินลงทุนรายปีของระบบผลิตไฟฟ้า} (C_{TE}) &= (174) + (400) + (900) + (1,890) \\ &= 3,364 \text{ บาท / ปี} \end{aligned}$$

ดังนั้นมูลค่ารวมของเงินลงทุนรายปีของการอบแห้งด้วยระบบเทอร์โมอิเล็กตริกผลิตไฟฟ้า มีค่าเท่ากับ 3,364 บาท / ปี

### 2 ผลตอบแทนสุทธิรายปี

จากการคำนวณนามูลค่ารวมของเงินลงทุนรายปีของระบบอบแห้งด้วยมอเตอร์ไฟฟ้า และระบบอบแห้งด้วยระบบเทอร์โมอิเล็กตริกผลิตไฟฟ้า สามารถคำนวณหาผลตอบแทนสุทธิรายปีได้จาก

$$\text{ผลตอบแทนสุทธิรายปี} (B_i) = C_m - C_{TE} \quad (25)$$

จะได้

$$= (8,506 - 3,364) \text{ บาท / ปี}$$

$$= 5,142 \text{ บาท / ปี}$$

ดังนั้นผลตอบแทนสุทธิรายปีจากการอบแห้งด้วยระบบเทอร์โมอิเล็กตริกผลิตไฟฟ้าเทียบกับการอบแห้งด้วยมอเตอร์ไฟฟ้ามีค่าเท่ากับ 5,142 บาท / ปี

### 3 ระยะเวลาคืนทุน

จากการคำนวณหาราคาตอบแทนสุทธิรายปีจากการอบแห้งด้วยระบบเทอร์โมอิเล็กตริกผลิตไฟฟ้าเทียบกับการอบแห้งด้วยมอเตอร์ไฟฟ้า พิจารณาระยะเวลาคืนทุนของระบบเทอร์โมอิเล็กตริกผลิตไฟฟ้า สำหรับกรณีระยะเวลาการใช้เครื่องอบแห้ง 450 ชั่วโมง/ปี สามารถหาได้จาก

$$\begin{aligned} PBP &= \frac{(C_{TE})}{(B_t)} \\ &= \frac{3,364 \text{ บาท / ปี}}{5,142 \text{ บาท / ปี}} \\ &= 7 \text{ เดือน } 28 \text{ วัน} \end{aligned} \quad (26)$$

ดังนั้นระยะเวลาคืนทุนของระบบเทอร์โมอิเล็กตริกผลิตไฟฟ้าสำหรับกรณีระยะเวลาการใช้เครื่องอบแห้ง 450 ชั่วโมง/ปี มีค่าเท่ากับ 7 เดือน 28 วัน

จากการคำนวณหาราคาระยะเวลาคืนทุนของระบบเทอร์โมอิเล็กตริกผลิตไฟฟ้า มูลค่าเงินลงทุนที่เพิ่มเข้ามา คือเงินลงทุนที่ใช้ในการสร้างระบบเทอร์โมอิเล็กตริกผลิตไฟฟ้า ในขณะเดียวกันก็จะได้เงินที่ประหยัดจากการอบแห้งด้วยมอเตอร์ไฟฟ้า พุลเลย์ สายพาน และค่าไฟฟ้า โดยมีระยะเวลาคืนทุนของระบบเทอร์โมอิเล็กตริกผลิตไฟฟ้ามีค่าเท่ากับ 7 เดือน 28 วัน และถ้าเครื่องอบแห้งมีการใช้งานอย่างต่อเนื่องตลอดทั้งปีหรือมีชั่วโมงการใช้งานเพิ่มขึ้น ระยะเวลาคืนทุนของระบบเทอร์โมอิเล็กตริกผลิตไฟฟ้าจะลดลงและปรับเปลี่ยนในทางเดียวกันกับระยะเวลาการใช้งานเครื่องอบแห้งซึ่งมวล

#### 4 มูลค่าปัจจุบันสุทธิ

มูลค่าปัจจุบันสุทธิ (Net Present Value : NPV) [21] เป็นการคำนวณหาผลต่างระหว่างมูลค่าปัจจุบันของกระแสเงินสดรับกับมูลค่าปัจจุบันของกระแสเงินสดจ่ายที่ได้ในโครงการลงทุนที่ได้ปรับค่าของเวลาแล้ว โดยการพิจารณาเลือกการลงทุนใช้การพิจารณาเลือกโครงการลงทุนที่ให้ค่า NPV สูงสุด สามารถหาจากสมการ

$$\text{มูลค่าปัจจุบันสุทธิ (NPV)} = \text{มูลค่าปัจจุบันของผลตอบแทน} - \text{มูลค่าปัจจุบันของค่าใช้จ่าย \quad (27)}$$

หรือ

$$NPV = \sum_{t=1}^n \frac{B_t}{(1+r)^t} - \sum_{t=1}^n \frac{C_t}{(1+r)^t}$$

โดยที่

$B_t$  = ผลตอบแทนในปีที่  $t$  (บาท)

$C_t$  = ต้นทุนในปีที่  $t$  (บาท)

$r$  = อัตราคิดลด หรืออัตราดอกเบี้ย (%)

$t$  = ปีของโครงการ ซึ่งมีค่าตั้งแต่ 1,2,3,...,n (ปี)

$n$  = จำนวนปีทั้งสิ้นของโครงการ หรืออายุโครงการ (ปี)

พิจารณาผลรวมของผลตอบแทนสุทธิที่ได้ปรับค่าของเวลาแล้วเมื่อกำหนดอายุของโครงการเป็น 10 ปี สำหรับกรณีระยะเวลากำลังใช้เครื่องอบแห้ง 450 ชั่วโมง/ปี มูลค่าปัจจุบันสุทธิที่ได้จากการลงทุนระบบเทอร์โมอิเล็กตริกผลิตไฟฟ้ามีค่าเท่ากับ

$$NPV = \sum_{t=1}^n \frac{B_t}{(1+r)^t} - \sum_{t=1}^n \frac{C_t}{(1+r)^t} = 15,601 \text{ บาท}$$

หรือกล่าวอีกนัยหนึ่งว่าโครงการนี้มี NPV เท่ากับ 15,601 บาท หรือมีค่ามากกว่า 0 สำหรับกรณีระยะเวลากำลังใช้เครื่องอบแห้ง 450 ชั่วโมง/ปี แสดงว่ามูลค่าปัจจุบันของผลตอบแทนรวมมากกว่า มูลค่าปัจจุบันของต้นทุนรวม ดังนั้นหากลงทุนหรือเกษตรกรจึงสมควรลงทุนในโครงการนี้

## 5 อัตราผลตอบแทนของโครงการ

อัตราผลตอบแทนของโครงการ (Internal Rate Of Return: IRR) [21] เป็นการคำนวณหาอัตราผลตอบแทนที่เท่าจริงของโครงการลงทุน หรืออัตราคิดลด ( $r$ ) ที่ทำให้มูลค่าปัจจุบันสุทธิ(NPV) มีค่าเท่ากับศูนย์

$$NPV = \sum_{t=1}^n \frac{B_t - C_t}{(1+r)^t} = 0 \quad (28)$$

อัตราผลตอบแทนของโครงการคือค่าอัตราคิดลด หากอัตราผลตอบแทนของโครงการ (IRR) มีค่ามากกว่าอัตราดอกเบี้ยเงินกู้สำหรับเงินทุนที่ใช้ในโครงการ แสดงว่าโครงการนี้มีกำไรจึงเหมาะสมที่จะลงทุน

การคำนวณหาอัตราคิดลด ( $r$ ) ที่ทำให้โครงการคุ้มทุนพอดี นั่นคือ NPV มีค่าเป็นศูนย์ ต้องใช้การทดลองหาค่าหดหายๆ ครั้ง แล้วใช้วิธีเทียบบัญญติโดยร่างค์ ในการหาอัตราผลตอบแทนของโครงการ อัตราคิดลดที่สูงเกินไป จะให้ NPV เป็นลบ และอัตราคิดลดที่ต่ำเกินไป จะให้ NPV เป็นบวก สามารถหาได้ดังนี้

พิจารณาอัตราผลตอบแทนของโครงการเมื่อกำหนดอายุของโครงการเป็น 10 ปี สำหรับกรณีระบบเจ้าการใช้เครื่องอบแห้ง 450 ชั่วโมง/ปี อัตราผลตอบแทนของโครงการระบบเทอร์โมอิเล็กตริกผลิตไฟฟ้าผลิตไฟฟ้า สามารถหา โดยใช้วิธีเทียบบัญญติโดยร่างค์เพื่อหาค่าอัตราผลตอบแทนจริงของโครงการ สามารถหาได้จากสมการ

$$IRR = r_1 + \left[ (r_2 - r_1) \times \frac{NPV @ r_1}{\Delta NPV} \right] \quad (29)$$

เมื่อ

$$\Delta NPV = NPV @ r_1 - NPV @ r_2$$

โดยที่

IRR	= อัตราผลตอบแทนของโครงการ
r1	= อัตราคิดลดตัวตា
r2	= อัตราคิดลดตัวสูง
NPV@r1	= NPV ของอัตราคิดลดตัวตា
NPV@r2	= NPV ของอัตราคิดลดตัวสูง

จะได้

$$\begin{aligned} IRR &= 120 + \left[ (125 - 120) \times \frac{19.0}{19.0 - (-16.9)} \right] \\ &= 120 + [5 \times 0.529] \\ &= 122.6 \% \end{aligned}$$

จากการหาค่าอัตราผลตอบแทนของโครงการระบบเทอร์โมอิเล็กตริกผลิตไฟฟ้า สำหรับกรณีระยะเวลาการใช้เครื่องอบแห้ง 450 ชั่วโมง/ปี พบว่าค่าอัตราผลตอบแทนของโครงการมีค่าเท่ากับ 122.6 % ซึ่งเมื่อนำค่าผลตอบแทนของโครงการที่ได้ไปเปรียบเทียบกับอัตราดอกเบี้ยเงินกู้ของโครงการซึ่งมีค่าเท่ากับ 7.5 % พบว่าอัตราผลตอบแทนของโครงการมีค่ามากกว่าอัตราดอกเบี้ยกู้ของโครงการ ดังนั้นจึงสรุปได้ว่าเกษตรกรสมควรลงทุนในโครงการนี้

6 ผลตอบแทนของโครงการสำหรับเครื่องอบแห้งกรณีระยะเวลาการใช้งานที่แตกต่างกัน การใช้งานเครื่องอบแห้งของเกษตรกรในแต่ละพื้นที่แตกต่างกัน ขึ้นอยู่กับขนาดพื้นที่เพาะปลูกและประเภทของผลผลิต ดังนี้  
ผลตอบแทนของโครงการของเครื่องอบแห้งในแต่ละพื้นที่ จึงมีผลลัพธ์ที่แตกต่างกัน ผลตอบแทนของเครื่องอบแห้งกรณีระยะเวลาการใช้งานที่แตกต่างกันแสดงดังตาราง 11

ตาราง 11 ผลตอบแทนของโครงการสำหรับเครื่องคอมพัห์กรณีระยะเวลาการใช้งานที่แตกต่างกัน

ช่วงเวลาการใช้งาน (ชั่วโมง / ปี)	BDS			BDTE			ผลการประยุคด (บาท)	PBP	NPV	IRR
	เชื้อเพล ง (บาท)	ไฟฟ้า (บาท)	รวมเงินทุน (บาท)	เชื้อเพล ง (บาท)	ไฟฟ้า (บาท)	รวมเงิน ทุน (บาท)				
150	1,350	1,265	3,275	630	0	2,104	1,171	1y 9m 21d	-3,023	-
300	2,700	2,531	5,891	1,260	0	2,734	3,157	10m 17d	6,292	35.16 %
450	4,050	3,796	8,506	1,890	0	3,364	5,142	7m 28d	15,601	122.65 %
600	5,400	5,061	11,121	2,520	0	3,994	7,127	6m 25d	24,910	293.59 %
750	6,750	6,327	13,737	3,150	0	4,624	9,113	6m 5d	34,226	486.40%

จากตาราง 11 พบรวมว่าโครงการนี้จะมีมูลค่าปัจจุบันสุทธิของโครงการเป็นวงเงินเมื่อมีระยะเวลาการใช้งานเครื่องอบแห้งมากกว่า 300 ชั่วโมง / ปี และอัตราผลตอบแทนของโครงการมีค่ามากกว่าอัตราคิดลดหรืออัตราดอกเบี้ยเงินกู้ (7.5 %) เมื่อมีระยะเวลาการใช้งานเครื่องอบแห้งมากกว่า 450 ชั่วโมง / ปี ดังนั้นจึงสรุปได้ว่าโครงการนี้สมควรลงทุนเมื่อระยะเวลาการใช้งานเครื่องอบแห้งซึ่งมีจำนวนมากกว่า 450 ชั่วโมง / ปี

### 7 การวิเคราะห์ต้นทุนแปรผัน

สำหรับระบบเทอร์โมอิเล็กตริกผลิตไฟฟ้า ต้นทุนแปรผันของโครงการคือมูลค่าไม่พื้นที่ใช้ในการอบแห้ง ดังนั้นผลตอบแทนของโครงการจะเกิดการเปลี่ยนแปลงเมื่อโครงการเกิดการแปรผันของต้นทุน ผลตอบแทนของโครงการกรณีต้นทุนของโครงการแปรผัน แสดงดังตาราง 12

ตาราง 12 ผลตอบแทนของโครงการกรณีต้นทุนแปรผัน (กรณีระยะเวลาอบแห้ง 450 ชั่วโมง / ปี)

ราคาเชื้อเพลิง (บาท/กิโลกรัม)	เงินลงทุนรายปี (บาท)	ผลตอบแทนรายปี (บาท)	PBP (Month - Day)	NPV (บาท)	IRR (%)
1.0	2,104	3,702	6m 27d	14,365	105.75
1.5	2,419	4,062	7m 7d	14,674	109.78
2.0	2,734	4,422	7m 15d	14,983	113.93
2.5	3,049	4,782	7m 22d	15,292	116.78
3.0	3,364	5,142	7m 28d	15,601	122.65
3.5	3,679	5,502	8m 4d	15,910	127.24
4.0	3,994	5,862	8m 18d	16,233	132.02
4.5	4,309	6,222	8m 12d	16,529	137.00
5.0	4,624	6,582	8m 16d	16,838	142.19

จากตาราง 12 การหาผลตอบแทนของโครงการกรณีต้นทุนมูลค่าไม่พื้นแปรผัน พบรวมว่าระยะเวลาคืนทุนของระบบค่อนข้างคงที่เมื่อเปรียบเทียบกับราคาเชื้อเพลิงที่เพิ่มขึ้น ขณะที่มูลค่าปัจจุบันสุทธิและอัตราผลตอบแทนของโครงการมีการเปลี่ยนแปลงเพียงเล็กน้อยเมื่อเปรียบเทียบกับมูลค่าไม่พื้นที่เพิ่มขึ้นเป็น 2 เท่า

จากการวิเคราะห์ผลตอบแทนของโครงการสำหรับเครื่องอบแห้งกรณีระยะเวลาการใช้งานที่แตกต่างกัน และการวิเคราะห์ต้นทุนแปรผันของโครงการกรณีต้นทุนมูลค่าไม้ฟืนเกิดการแปรผัน พบว่าระยะเวลาการใช้เครื่องอบแห้งรายปีมีผลต่อระยะเวลาคืนทุน มูลค่าปัจจุบันสูงชัด และอัตราผลตอบแทนของโครงการโดยตรง ขณะที่ต้นทุนแปรผันของโครงการส่งผลต่อระยะเวลาคืนทุน มูลค่าปัจจุบันสูงชัด และอัตราผลตอบแทนของโครงการน้อยมาก

### ผลตอบแทนด้านทรัพยากรธรรมชาติและสิ่งแวดล้อม

ในการทดสอบประสิทธิภาพของระบบเทอร์โมอิเล็กตริกผลิตไฟฟ้า ปริมาณพลังงานความร้อนจากที่ใช้ในระบบอบแห้งเปรียบเทียบระหว่างขั้นตอนการทดลองเบื้องต้นเพื่อหาอุณหภูมิผู้งเครื่องแลกเปลี่ยนความร้อน และขั้นตอนการทดสอบประสิทธิภาพในการผลิตไฟฟ้าของระบบเทอร์โมอิเล็กตริกผลิตไฟฟ้า เพื่อศึกษาผลตอบแทนทางด้านทรัพยากรธรรมชาติและสิ่งแวดล้อมสามารถประเมินผลตอบแทนตามสมมติฐานได้ดังนี้ กำหนดสมมติฐาน

- ความจุความร้อนของไม้ยูคาลิปตัส	(20,083.2 kJ / kg · °C)
- ระยะเวลาอบแห้งรายปี	(450 hr / year)
- พลังงานความร้อนที่ใช้ก่อนการปรับปรุง	(60,249.6 kJ / hr)
- พลังงานความร้อนที่ใช้หลังการปรับปรุง	(28,116.45 kJ / hr)

#### 1 พลังงานความร้อนที่สามารถประหยัดได้ทั่วประเทศรายปี

พิจารณาการใช้พลังงานความร้อนจากไม้ยูคาลิปตัสสำหรับการอบแห้งรายปีของเครื่องอบแห้งชีวมวล 1 เครื่อง พบว่าเมื่อเครื่องอบแห้งผ่านการปรับปรุงและติดตั้งระบบผลิตไฟฟ้า ปริมาณการใช้พลังงานในการอบแห้งรายปีที่ลดลง พิจารณาการใช้พลังงานความร้อนเปรียบเทียบจากก่อนและหลังปรับปรุงเครื่องอบแห้ง ดังสมการ

$$Q_{TES} = (Q_{TB} - Q_{TA}) \times T_d \quad (32)$$

เมื่อ

$Q_{TE}$	= พลังงานความร้อนที่สามารถประยุกต์ได้	
$Q_{TB}$	= พลังงานความร้อนที่ใช้ก่อนการปรับปรุง	(60,249.6 kJ / hr)
$Q_{TA}$	= พลังงานความร้อนที่ใช้หลังการปรับปรุง	(28,116.45 kJ / hr)
$T_d$	= ระยะเวลาอบแห้งรายปี	(450 hr / year)

จะได้

$$= (131,745.6 - 56,232.9 \text{ kJ / hr}) \times 450 \text{ hr / year}$$

$$= 16,990,357.5 \text{ kJ / year}$$

ดังนั้นพลังงานความร้อนจากไม้ยูคาลิปตัสที่สามารถประยุกต์ได้รายปีของเครื่องอบแห้งชีมวล 1 เครื่อง มีค่าเท่ากับ 16,990,357.5 kJ / yr คิดเป็นร้อยละ 42.68 กรณีระยะเวลาอบแห้งรายปีเท่ากับ 450 hr / year

พิจารณาการใช้พลังงานความร้อนจากไม้ยูคาลิปตัสสำหรับการอบแห้งรายปีที่สามารถประยุกต์ได้ทั่วประเทศของเครื่องอบแห้งชีมวล กำหนดสมมติฐานจำนวนเครื่องอบแห้งชีมวลทั่วประเทศจากข้อมูลทางการปักครองส่วนภูมิภาคของกรมการปักครอง พบร้าบจุบัน ประเทศไทย มีจำนวนต่ำบล 7,255 ต่ำบล [22] การประเมินผลตอบแทนด้านทรัพยากรธรรมชาติและสิ่งแวดล้อม สามารถหาได้จากการโดยสร้างสมมติฐานไว้ ดังนี้

$$Q_{Total} = Q_{TE} \times n \times T_d \quad (33)$$

เมื่อ

$Q_{Total}$	= พลังงานที่ประยุกต์ได้ทั่วประเทศ
$Q_{TE}$	= พลังงานความร้อนที่สามารถประยุกต์ได้
$N$	= จำนวนเครื่องอบแห้งชีมวลทั่วประเทศ
$T_d$	= ระยะเวลาอบแห้งรายปี

จะได้

ตาราง 13 พลังงานความร้อนที่สามารถประยุกต์ได้ทั่วประเทศไทยปี

หน่วย : million kJ / yr

ระยะเวลา อบแห้งรายปี	จำนวนเครื่องอบแห้งชีวนมวลด้วยประเทศไทย					
	2,000	4,000	6,000	7,255	8,000	10,000
150	22,650	45,300	67,950	82,200	90,600	113,250
500	45,300	90,600	135,900	164,400	181,200	226,500
450	67,950	135,900	203,850	246,600	271,800	339,750
600	90,600	181,200	271,800	328,800	362,400	453,000
750	113,250	226,500	339,750	411,000	453,000	566,250

ดังนี้ พลังงานความร้อนจากไม้ยูคาลิปตัสที่สามารถประยุกต์ได้รายปีทั่วประเทศไทยค่าเท่ากับ 246,600 GJ / yr กรณีจำนวนเครื่องอบแห้งชีวนมวลด้วยประเทศไทยเท่ากับ 7,255 เครื่อง และระยะเวลาอบแห้งรายปี 450 hr / yr

2 น้ำหนักไม้ยูคาลิปตัสรายปีที่ประยุกต์ได้ทั่วประเทศไทย

พลังงานความร้อนจากไม้ยูคาลิปตัสที่ประยุกต์ได้แล้วจากการปรับปรุงเครื่องอบแห้งและติดตั้งระบบผลิตไฟฟ้า สำหรับการอบแห้งรายปีของเครื่องอบแห้งชีวนมวลด้วยประเทศไทย น้ำหนักไม้ยูคาลิปตัสรายปีที่สามารถประยุกต์ได้ทั่วประเทศไทย สามารถคำนวณได้จาก

$$W_{\text{wood}} = \frac{Q_{\text{total}}}{C_{p,\text{wood}}} \quad (34)$$

เมื่อ

$W_{\text{wood}}$  = น้ำหนักไม้ยูคาลิปตัส (kg)

$Q_{\text{total}}$  = พลังงานความร้อนที่สามารถประยุกต์ได้ทั่วประเทศไทย (kJ)

$C_{p,\text{wood}}$  = ค่าความจุความร้อนของไม้ยูคาลิปตัส (kJ / kg·°C)

จะได้

$$= \frac{1.26467 \times 10^{12} \text{ kJ}}{20,083.2 \text{ kJ / kg}}$$

$$= 62,971,899.92 \text{ kg / yr}$$

ดังนั้นน้ำหนักไม้ยุคاليปต์รายปีที่ประหยัดได้ทั่วประเทศมีค่าเท่ากับ 62,971,899.92 kg/yr หรือคิดเป็น 62,971.9 ตันต่อปี

### 3 มูลค่าไม้ยุคاليปต์สามารถประหยัดได้ทั่วประเทศ

มูลค่าไม้ยุคاليปต์รายปีที่สามารถประหยัดได้ทั่วประเทศของเครื่องอบแห้งชีวนะลดทั่วประเทศ หลังการปรับปรุงเครื่องอบแห้งและติดตั้งระบบผลิตไฟฟ้า เพื่อหมายความของไม้ยุคалиปต์ที่ใช้เป็นพลังงานความร้อนในการอบแห้งผลิตภัณฑ์ สามารถหาได้จาก

$$\text{มูลค่าไม้ยุคاليปต์} = \text{น้ำหนักไม้} \times \text{ราคา} \quad (35)$$

จะได้

$$= (62,971,899.92 \text{ กิโลกรัม/ปี}) \times (3 \text{ บาท/กิโลกรัม})$$

$$= 188,915,699.8 \text{ บาท/ปี}$$

ดังนั้นมูลค่าไม้ยุคاليปต์รายปีที่สามารถประหยัดทั่วประเทศมีค่าเท่ากับ 188,915,699.8 บาท/ปี

### 4 พื้นที่ป่าไม้รายปีที่สามารถลดการถูกทำลายได้ทั่วประเทศ

จากน้ำหนักไม้ยุคاليปต์รายปีที่สามารถประหยัดได้ทั่วประเทศ ใช้การพิจารณาผลตอบแทนด้านทรัพยากรธรรมชาติและสิ่งแวดล้อม พบว่าการปรับปรุงเครื่องอบแห้งและติดตั้งระบบเทอร์โมอิเล็กติกผลิตไฟฟ้าช่วยลดการทำลายพื้นที่ป่าไม้ได้เป็นจำนวนมาก สามารถหาจาก

$$A = \frac{W_{\text{wood}}}{P_{\text{wood}} \times P_{\text{wood}}} \quad (36)$$

เมื่อ

$A$  = พื้นที่ป่าไม้ (ไร่)

$W_{wood}$  = น้ำหนักไม้ (kg)  $(62,971,899.92 \text{ kg / yr})$

$P_{wood}$  = ผลผลิตต่อไร่ ( $\text{m}^3 / \text{ไร่}$ )  $(64 \text{ m}^3 / \text{ไร่}) [23]$

$\rho_{wood}$  = ความหนาแน่นของเนื้อไม้ ( $\text{kg} / \text{m}^3$ )  $(495 \text{ kg} / \text{m}^3)$

จะได้

$$= \frac{62,971,899.92 \text{ kg / yr}}{(66.4 \text{ m}^3) \times (495 \text{ kg} / \text{m}^3)} \\ = 1,915.9 \text{ ไร่ / ปี}$$

ดังนั้นพื้นที่ป่าไม้รายปีที่สามารถลดการดูกรำลาຍได้ทั่วประเทศจากการปรับปรุงเครื่องอบแห้งและติดตั้งระบบเทอร์โมอิเล็กตริกผลิตไฟฟ้ามีค่าเท่ากับ 1,915.9 ไร่ / ปี

## 5 การลดลงของก๊าซคาร์บอนไดออกไซด์

การลดลงของก๊าซคาร์บอนไดออกไซด์รายปีจากการปรับปรุงเครื่องอบแห้งชีวนวลดและติดตั้งระบบเทอร์โมอิเล็กตริกผลิตไฟฟ้าสำหรับเครื่องอบแห้งชีวนวลด 1 เครื่อง ใช้การพิจารณาเปรียบเทียบปริมาณการปล่อยก๊าซคาร์บอนไดออกไซด์ก่อนการปรับปรุงระบบอบแห้งและหลังการปรับปรุงเครื่องอบแห้งชีวนวลดและการติดตั้งระบบเทอร์โมอิเล็กตริกผลิตไฟฟ้า สามารถหาได้จาก

### 5.1 ก่อนปรับปรุง ปริมาณการปล่อยก๊าซคาร์บอนไดออกไซด์ สามารถหาได้จาก

$$\text{CO}_{2,\text{before}} = (E_{ee} \times \text{CO}_{2,\text{ee1}}) + (F_f \times \text{CO}_{2,\text{com1}}) \quad (37)$$

โดยที่

$\text{CO}_{2,\text{before}}$  = ปริมาณการปล่อย  $\text{CO}_2$  ก่อนการปรับปรุง ( $\text{kg}/\text{yr}$ )

$E_{ee}$  = ปริมาณไฟฟ้าของมอเตอร์ไฟฟ้า  $(702.9 \text{ kWh})$

$\text{CO}_{2,\text{ee1}}$  = ปริมาณการปล่อย  $\text{CO}_2$  จากการผลิตไฟฟ้า  $(0.5984 \text{ kg} / \text{kWh})$

$F_f$  = น้ำหนักไม้ฟืนที่ใช้เป็นเชื้อเพลิง  $(11,565 \text{ kg} / \text{yr})$

$\text{CO}_{2,\text{com1}}$  = ปริมาณการปล่อย  $\text{CO}_2$  จากการเผาใหม่  $(3.11 \text{ kg})$

จะได้

$$\begin{aligned}
 &= (702.9 \text{ kWh} \times 0.59843421 \text{ kg/kWh}) + (11,565 \text{ kg/yr} \times 3.11 \text{ kg}) \\
 &= 36,381.79 \text{ kg/yr}
 \end{aligned}$$

ดังนั้นปริมาณการปล่อยก๊าซคาร์บอนไดออกไซด์ของเครื่องอบแห้งชีวมวลจากการอบแห้งด้วยมอเตอร์ไฟฟ้า มีค่าเท่ากับ 36,381.79 kg

### 5.2 หลังปรับปูง ปริมาณการปล่อยก๊าซคาร์บอนไดออกไซด์ สามารถหาได้จาก

$$\text{CO}_{2,\text{after}} = (F_f \times \text{CO}_{2,\text{com2}}) \quad (38)$$

โดยที่

$$\begin{aligned}
 \text{CO}_{2,\text{after}} &= \text{ปริมาณการปล่อย CO}_2 \text{ หลังการปรับปูง (kg)} \\
 F_f &= \text{น้ำหนักไม้พินที่ใช้เป็นเชื้อเพลิง (kg/yr)} \quad (3,435.33 \text{ kg / yr}) \\
 \text{CO}_{2,\text{com2}} &= \text{ปริมาณการปล่อย CO}_2 \text{ จากการเผาไหม้ (kg/hr)} \quad (3.11 \text{ kg})
 \end{aligned}$$

จะได้

$$\begin{aligned}
 &= (3.11 \text{ kg}) \times (3,435.33 \text{ kg/yr}) \\
 &= 10,683.89 \text{ kg/yr}
 \end{aligned}$$

ดังนั้นปริมาณการปล่อยก๊าซคาร์บอนไดออกไซด์ของเครื่องอบแห้งชีวมวลจากการอบแห้งด้วยระบบเทอร์โมอิเล็กทริกผลิตไฟฟ้า มีค่าเท่ากับ 10,683.89 kg/yr

## 6 การลดลงของก๊าซคาร์บอนไดออกไซด์รายปี

การลดลงของก๊าซคาร์บอนไดออกไซด์รายปีจากการปรับปูงเครื่องอบแห้งชีวมวลและติดตั้งระบบเทอร์โมอิเล็กทริกผลิตไฟฟ้ามาจาก ผลต่างของการปล่อยก๊าซคาร์บอนไดออกไซด์จากการอบแห้งก่อนและหลังการปรับปูง สามารถหาได้จาก

$$\text{CO}_{2,\text{save}} = \text{CO}_{2,\text{before}} - \text{CO}_{2,\text{after}} \quad (39)$$

โดยที่

- $\text{CO}_{2,\text{save}}$  = ปริมาณการปล่อย  $\text{CO}_2$  ที่ลดลงจากการปรับปรุงเครื่องอบแห้ง (kg/yr)
- $\text{CO}_{2,\text{before}}$  = ปริมาณการปล่อย  $\text{CO}_2$  ก่อนการปรับปรุงเครื่องอบแห้ง (kg/yr)
- $\text{CO}_{2,\text{after}}$  = ปริมาณการปล่อย  $\text{CO}_2$  หลังการปรับปรุงเครื่องอบแห้ง (kg/yr)

จะได้

$$\begin{aligned} &= (36,381.79 \text{ kg/yr}) - (10,683.89 \text{ kg/yr}) \\ &= (25,697.9 \text{ kg/yr}) \end{aligned}$$

ดังนั้นปริมาณการปล่อย  $\text{CO}_2$  ที่ลดลงจากการปรับปรุงเครื่องอบแห้งด้วยระบบเทอร์โมอิเล็กทริกผลิตไฟฟ้า มีค่าเท่ากับ 25,697.9 kg/yr

หรือสามารถคิดเป็นร้อยละได้จาก

$$\text{CO}_2 = \frac{\text{CO}_{2,\text{after}}}{\text{CO}_{2,\text{before}}} \times 100 \quad (40)$$

จะได้

$$\begin{aligned} &= \frac{10,683.89}{36,387.79} \times 100\% \\ &= 29.37\% \end{aligned}$$

ดังนั้นผลตอบแทนสุทธิของปริมาณการปล่อยก๊าซคาร์บอนไดออกไซด์รายปี เปรียบเทียบการอบแห้งผลิตภัณฑ์ของระบบอบแห้งด้วยมอเตอร์ไฟฟ้าและการอบแห้งด้วยระบบเทอร์โมอิเล็กทริกผลิตไฟฟ้า พบร่วงการลดลงของก๊าซคาร์บอนไดออกไซด์รายปีมีค่าเท่ากับ 25,703.9 kg/yr หรือคิดเป็นร้อยละ 29.37

## 7 การลดลงของก๊าซคาร์บอนไดออกไซด์ทั่วประเทศ

จากผลตอบแทนสุทธิของปริมาณการปล่อยก๊าซคาร์บอนไดออกไซด์รายปี เปรียบเทียบการอบแห้งผลิตภัณฑ์ของระบบอบแห้งด้วยมอเตอร์ไฟฟ้าและการอบแห้งด้วยระบบเทอร์โมอิเล็กทริกผลิตไฟฟ้า พิจารณาภาพรวมของการใช้เครื่องอบแห้งซึ่งมีผลต่อประเทศ การลดลงของก๊าซคาร์บอนไดออกไซด์ทั่วประเทศ สามารถหาได้จาก

$$\text{CO}_{2,\text{total}} = \text{CO}_{2,\text{save}} \times n \quad (41)$$

โดยที่

$\text{CO}_{2,\text{total}}$  = การลดลงของก๊าซคาร์บอนไดออกไซด์ทั่วประเทศ

$\text{CO}_{2,\text{save}}$  = การลดลงของก๊าซคาร์บอนไดออกไซด์ต่อเครื่อง

n = จำนวนเครื่องคอมพิวเตอร์ชีวมวล

จะได้

$$= (25,697.9 \text{ kg/yr}) \times (7,255)$$

$$= 186,438,264.5 \text{ kg/yr}$$

ดังนั้นผลตอบแทนสูตรชี้ของปริมาณการปล่อยก๊าซคาร์บอนไดออกไซด์รายปีทั่วประเทศ เปรียบเทียบการอุปกรณ์และผลิตภัณฑ์ของระบบคอมพิวเตอร์ไฟฟ้าและการอุปกรณ์ทั่วไปในระบบ เทอร์โมอิเล็กทริกผลิตไฟฟ้า พบว่าการลดลงของก๊าซคาร์บอนไดออกไซด์รายปีทั่วประเทศมีค่า เท่ากับ 186,438,264.5 kg/yr หรือ 186 ล้านตัน/ปี

เมื่อพิจารณาการลดลงของก๊าซคาร์บอนไดออกไซด์รายปี เปรียบเทียบกรณีระยะเวลา การอุปกรณ์และจำนวนเครื่องคอมพิวเตอร์ต่างกัน การลดลงของก๊าซคาร์บอนไดออกไซด์รายปีแสดงดังตาราง 14

ตาราง 14 การลดลงของก๊าซคาร์บอนไดออกไซด์รายปี

หน่วย : million kg / yr

ระยะเวลา อุปกรณ์ รายปี	จำนวนเครื่องคอมพิวเตอร์ชีวมวลร่วมกับเทอร์โมอิเล็กทริก					
	2,000	4,000	6,000	7,255	8,000	10,000
150	17.1	34.3	51.4	62.1	68.5	85.7
300	34.3	68.5	102.8	124.3	137.0	171.3
450	51.4	102.8	154.2	186.4	205.6	257.0
600	68.5	137.0	205.6	248.6	274.1	342.6
750	85.7	171.3	257.0	310.7	342.6	428.3